

# Infekujące leki homeopatyczne oparte o struktury aromatyczne

Diana Wojtkowiak<sup>1</sup>, Bernadeta Głębińska<sup>2</sup>, Włodzimierz Misztal<sup>3</sup>, Mirosława Skórkowska<sup>4</sup>,  
Andrzej Frydrychowski<sup>5</sup>

1) Niezależny naukowiec, ul Diamentowa 3/30, 80-028 Gdańsk, [diana@torsionfield.eu](mailto:diana@torsionfield.eu) ,  
[www.torsionfield.eu](http://www.torsionfield.eu) , 2) Centrum Medycyny Integracyjnej Thymus Med, ul. Błękitna 44c,  
04-649 Warszawa, 3) Nabiotech, ul. Widok 53, 80-288 Gdańsk; 4) Apteka Św. Heleny ul.  
Witomińska 10, 81-311 Gdynia; 4) Zakład Fizjologii Człowieka, Wydział Nauk o Zdrowiu z  
Oddziałem Pielęgniarstwa i Instytutem Medycyny Morskiej i Tropikalnej, Gdański  
Uniwersytet Medyczny, ul. Tuwima 15, 80-210 Gdańsk;

## Abstrakt

W pracy przedstawiono wyniki doświadczeń dotyczących preparatów homeopatycznych promieniujących wirowym polem torsyjnym, jak też metod fizykochemicznych dostarczających takiego pola, jak na przykład magnetoterapia. Preparaty wirowe mają szczególną właściwość infekowania wody postawionej obok takiego preparatu, innych leków homeopatycznych i stołu. Do preparatów takich należą te wytworzone z ciemnych mikrogrzybów i organizmów zawierających melaninę lub substancje melaninopochodne. W pracy po raz pierwszy zajęto się farmakokinetyką leków homeopatycznych i spektroskopią cząstek pola torsyjnego wprowadzonych do organizmu w celach leczniczych. Z uzyskanych danych wynika, że sygnał z wprowadzonego w niewielkiej ilości preparatu homeopatycznego jest wzmacniany. Jego intensywność narasta w całym ciele z mniej więcej stałą szybkością w ciągu pierwszej godziny, osiąga maksimum po kilku godzinach i następnie sygnał spada również ze stałą szybkością do poziomu tła organizmu. Spadek ten następuje w ciągu jednej doby dla niskich potencji i w ciągu trzech dni dla wysokich potencji. Wykazaliśmy też infekcyjne właściwości tworzyw sztucznych zawierających ugrupowania aromatyczne, należą do nich zwykłe butelki z tworzywa PET.

## Wprowadzenie

W publikacji <sup>1</sup> opisaliśmy zdolności infekcyjne takich substancji aromatycznych jak kwas salicylowy, benzen i grafit. Obecnie chcemy pokazać, że zjawisko to dotyczy też złożonych substancji aromatycznych występujących w organizmach żywych i całych organizmów, a także komercyjnych leków homeopatycznych, do produkcji których wykorzystano takie organizmy. Szczególnie interesującą substancją biologiczną jest pod tym względem melanina, substancja wielkocząsteczkowa posiadająca skondensowane pierścienie aromatyczne.

Idea pracy wynikała z naszych wcześniejszych doświadczeń z grafitem. Preparaty homeopatyczne grafitu, jak się okazało, mają bardzo nieprzyjemną właściwość infekowania stojącej obok wody albo leków homeopatycznych, a także samego stołu na którym je postawimy. Niemniej jednak informacja grafitu jest ceniona w medycynie alternatywnej, zarówno jako lek Graphites wprowadzony do użytku jeszcze przez Hahnemanna, jako

naświetlania grafitową lampą łukową wynalezione przez Nielsa Finsena, za które to badania w dziedzinie fototerapii otrzymał nagrodę Nobla w dziedzinie medycyny w 1903r., wreszcie jako sygnał z urządzeń radionicznych typu Abramsa, posiadających wiele potencjometrów grafitowych (np. Hieronymus, Base 44), stosowanych od lat w leczeniu ludzi i zwierząt. Jeżeli jednak informacja grafitu ma właściwości lecznicze w dramatycznych sytuacjach chorobowych, to nie będziemy się przejmować istnieniem infekcji, uważając jedynie aby nie zainfekować posiadanych leków homeopatycznych. Taka infekcja może przeskakiwać na następne buteleczki.

Wydaje się, że źródła wirowego pola torsyjnego mogą mieć w wielu sytuacjach przewagę nad liniowym polem torsyjnym emitowanym przez większość leków homeopatycznych. Organizm takie pole wykorzystuje. Wirowe pole torsyjne emitowane jest przez ciało ludzkie w miejscach gdzie medycyna wschodu umieszcza czakramy, występuje w promieniowaniu stanów zapalnych i promieniowaniu śmierci. Stąd nasze zainteresowanie preparatami i metodami wysyłającymi wirowe pole torsyjne.

Dla lepszego zrozumienia właściwości chemicznych układów aromatycznych, należy się czytelnikowi informacja dotycząca różnic pomiędzy liniowym i wirowym polem torsyjnym. W pracach dotyczących pól torsyjnych, brakuje zwykle tego rozróżnienia, a pola torsyjne generowane różnymi metodami są albo jednego, albo drugiego rodzaju. Występuje pewna wzajemna zależność tych pól przypominająca wzajemną zależność pola elektrycznego i magnetycznego. Pole liniowe pochodzi od uwieczonych w materiale cząstek pola torsyjnego, albo inherentnie przynależy danej substancji chemicznej, natomiast pole wirowe pochodzi od cząstek pola torsyjnego poruszających się ruchem kołowym. Może to następować w wytoczonym pierścieniu metalowym, magnezie lub w chemicznym pierścieniu aromatycznym. Kiedy przy zwykłym leku homeopatycznym o dużym zasięgu promieniowania postawimy fiolkę z wodą na noc, rano spostrzeżemy, że też promieniuje, ale wielokrotnie słabiej niż wyjściowy lek homeopatyczny i jest to raczej promieniowanie nabyte od wirowego pola Ziemi. Kiedy do pierścienia metalowego, w którym krąży pole torsyjne wstawimy taką samą fiolkę z wodą, wystarczy jedna sekunda wewnątrz pierścienia, aby uzyskać stosunkowo silny preparat homeopatyczny. Możemy tu mówić o infekcyjności wirowego pola torsyjnego. Jest to charakterystyczna cecha, dzięki której w prosty sposób możemy odróżniać pole torsyjne wirowe od liniowego.

W pracy opieramy się w znacznej mierze, na opracowanej w naszym laboratorium metodzie pomiarów spektroskopowych pola torsyjnego i na skonstruowanym do tych celów spektroskopie pola torsyjnego, a dokładniej spektroskopie cząstek pola torsyjnego. Konstrukcja tego spektroskopu została opisana w publikacji <sup>2</sup>. Z tego powodu, że nie skonstruowano jeszcze elektronicznego miernika pól torsyjnych, do pomiarów stosujemy metodę typu kinetycznego opisaną w pozycjach <sup>2,3</sup>. Metody te zostały specjalnie opracowane pod kątem dokładności wyników ilościowych i szybkości dokonywania oznaczenia wartości liczbowych.

## **Część doświadczalna**

### **Grafit**

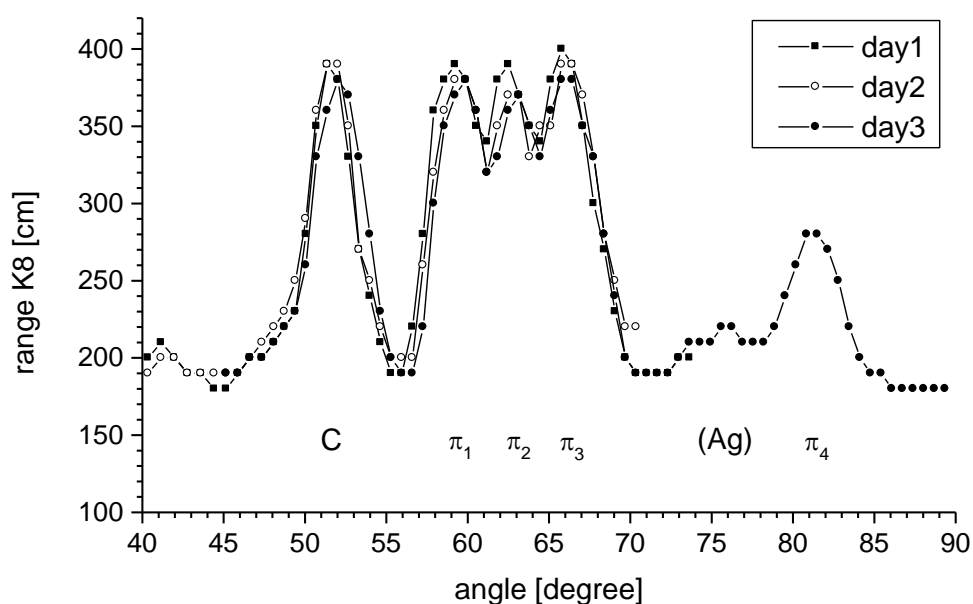
Grafit powszechnie nie jest kojarzony z układami aromatycznymi, jako że nie jest węglowodorem, jednak orbitale elektronowe  $\pi$  przynależne są do węgla, a nie do wodoru i z punktu widzenia fizykochemicznego jest on wielką strukturą po której krążą elektrony  $\pi$ .

Węgiel drzewny zawiera zarówno domeny węgla bezpostaciowego, jak też domeny grafitu, z punktu widzenia homeopatii, możemy go traktować jako „słabszy” grafit. Agata

Trash i Calvin Trash opisują w swojej książce o węglu drzewnym<sup>3</sup> leczenie kompresami kilkumilimetrowej grubości ze zwilżonego wodą węgla drzewnego z mąką ziemniaczaną jako lepiszczem. Opisują oni nakładanie na kilka godzin dużych kompresów na brzuch lub plecy na niewydolność wątroby i nerek, jak też na chroniczne zapalenie trzustki. Opisują też, szybko przynoszące efekty kompresy na miejsca ukąszeń pszczoł, pajaków i węży. Zalecają kompresy z węgla drzewnego na oczy w przypadku stanów zapalnych oczu, a także zapalenia opon mózgowych. Również, bóle gardła i ucha, zwichnięcia stawów, zapalenia stawów, czy zapalenie opłucnej, jak piszą, można leczyć okładami z węgla drzewnego.<sup>4</sup>

Biorąc pod uwagę, że węgiel drzewny ze względu na swoje wymiary ziaren nie jest wchłaniany przez skórę, leczenie odbywa się przez pole, na odległość. (W przypadku oczu pewną rolę może odgrywać transfer przez czakramy oczu).

Jako że w niniejszej publikacji, dotyczącej preparatów infekcyjnych, grafit i preparaty homeopatyczne grafitu traktujemy jako punkt wyjścia, na rys. 1 umieściliśmy charakterystyczne spektrum cząstek pola torsyjnego grafitu, które powtarza się w swej ogólnej formie w wielu związkach chemicznych zawierających proste ugrupowania aromatyczne. Mamy tryplet i dwa sygnały po dwóch stronach trypletu. Ten spodziewany sygnał po lewej nie zmieścił się w zakresie pomiarowym. Ważną informacją jest szybkość infekcji preparatów grafitu. Infekcja z fiolki (10ml) z preparatem homeopatycznym grafitu na stojącą zaraz obok fiolkę z wodą (10ml) jest bardzo szybka i w ciągu 1 minuty zasięg promieniowania z fiolki z wodą uzyskuje 50% wartości pierwotnego preparatu homeopatycznego, a po 10 minutach 90%. Krzywe infekcji dla grafitu, benzenu i ich preparatów homeopatycznych zostały przedstawione przez nas w pracy<sup>1</sup>.



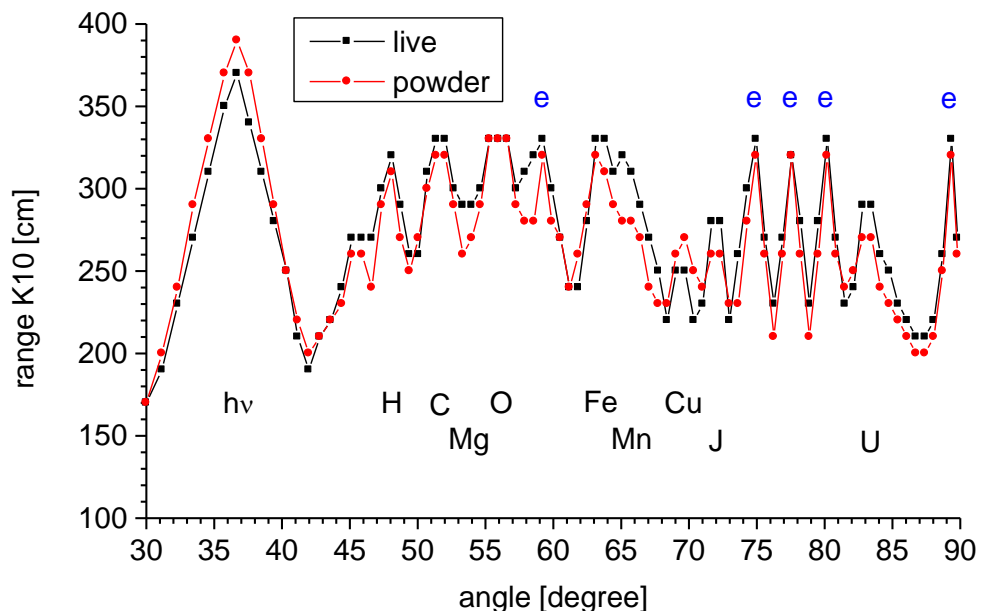
Rys. 1. Spektrum grafitu. Pomiarzy głównej części wykresu zostały wykonane trzykrotnie, w trzech kolejnych dniach, z tego samego preparatu homeopatycznego opartego na wodzie i uzyskanego z grafitu w płatkach (typ FG 192). C - sygnał węgla,  $\pi_1$ - $\pi_4$  - sygnały pochodzące od pierścieni aromatycznych, Ag - zakłócający sygnał od srebra w szczeliny kolimatora spektroskopu. Oś odciętych - kąt wiązki padającej względem płaszczyzny łamiącej mierzony w stopniach, oś rzędnych - zasięg promieniowania K8 z próbek na wyjściu spektroskopu mierzony w centymetrach.

## Huba brzozowa

Huba brzozowa *Inonotus obliquus* (rys. 2) ceniona jest od wieków jako środek przeciwnowotworowy w Europie Wschodniej i Azji i ciągle używana jako środek wspomagający leczenie nowotworów, działa również przeciwzapalnie i przeciwwirusowo na wirus zapalenia wątroby typu C. <sup>5</sup> Porównaliśmy spektra informacji homeopatycznej ściągniętej z żywej huby o powierzchni czarnej jak smoła, zawierającej melanine, a także z brązowego proszku sprzedawanego komercyjnie (rys. 3). Wewnątrz huba jest żółto-brązowa.



Rys. 2. Zdjęcie huby brzozowej (*Inonotus obliquus*, chaga) okolice Żelistrzewa, Województwo Pomorskie, z której skopiowano informację homeopatyczną podróżnym akceleratorciem cząstek pola torsyjnego.



Rys. 3. Spektrum cząstek pola torsyjnego huby brzozowej (*Inonotus obliquus*). Czarne kwadraty - uzyskane z żywej huby rosnącej na brzozie przy pomocy akceleratorka

podróznego, czerwone kółka - z komercyjnie sprzedawanego proszku. Oznaczenia: hv - fotony, H - wodór, C - węgiel, Mg - magnez, O - tlen, Fe - żelazo, Mn - mangan, Cu - miedź, J - jod, U - uran, e - piki od układu aromatycznego. Oś odciętych - kąt mierzony w stopniach, oś rzędnych - zasięg promieniowania Kategorii K10 z próbek na wyjściu spektroskopu mierzony w centymetrach.

Widzimy, że najsilniejszy sygnał pochodzi od fotonów (hv), silny charakterystyczny sygnał aromatyczny może pochodzić od melaniny, ale raczej od jednopierścieniowego związku aromatycznego - tryplet i dwa sygnały oddalone po dwóch stronach, układ ten bardziej przesunięty na prawo niż w przypadku grafitu. Takich substancji jest w guzie brzozyowym sporo<sup>6</sup>, prawdopodobnie któryś z nich przeważa w polu torsyjnym. Ruch okrężny cząstek pola torsyjnego po pierścieniach powoduje infekcyjność. Jod, uran - to sygnały z otoczenia, od Słońca i Ziemi. Pierwiastki biogenne: H, C, O, Mg. Mały sygnał na lewo od wodoru to któraś z aktywnych form wodoru. Wykresy w zasadzie identyczne. Charakterystyczna jest obecność szerokiego trójkątnego sygnału fotonów oraz manganu.

Występują silne zdolności infekcyjne Sygnał z proszku pobrany był w sposób następujący: 10g proszku z huby zawieszono w 9 ml wody, wstrząśnięte 50x razy, obok postawiona fiolka z 9ml wody na 0,5h, po tym czasie nastąpiła pełna infekcja (zasięg promieniowania K5 z jednej i drugiej fiolki 140cm), sygnał przed spektroskopią został wzmocniony 2,5-krotnie.

Z punktu widzenia spektrum promieniowania cząstek pola torsyjnego proszek sprzedawany komercyjnie wydaje się więc równie wartościowy co świeża huba.

## **Farmakokinetyka**

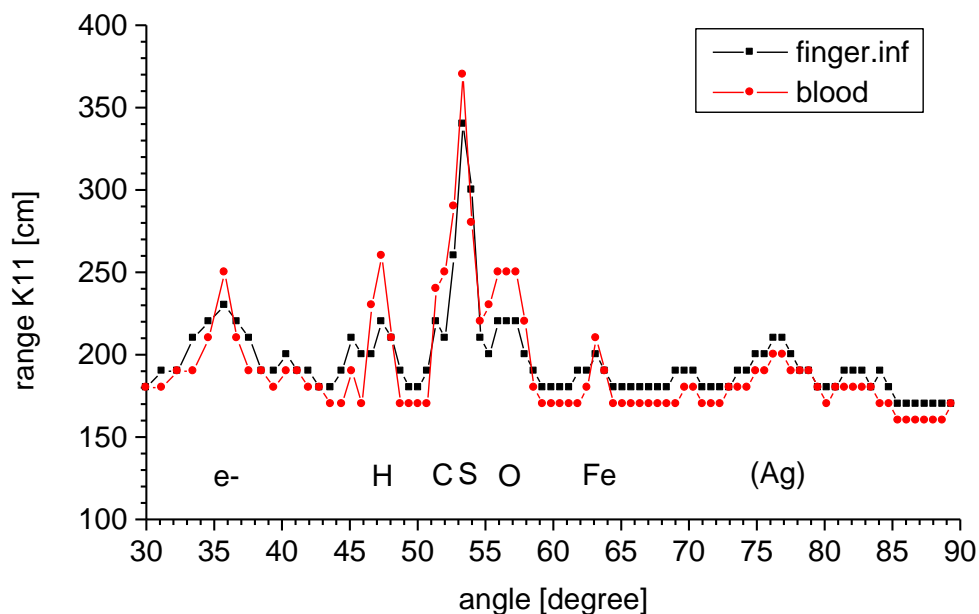
Jednym z głównych pytań stawianych sobie przez homeopatów jest obiektywizacja dawkowania, a więc zagadnienie farmakokinetyki. Ile czasu lek potrzebuje do dotarcia do miejsca oddziaływania i jak szybko jest eliminowany z organizmu. Okazuje się że różne leki homeopatyczne zachowują się w tym aspekcie bardzo podobnie i można tu wyciągnąć proste zasady ich stosowania. Sprawdźmy najpierw, jak zachowuje się zwykły preparat Sulfur nie mający właściwości infekcyjnych, tutaj określane jako preparat liniowy.

### ***Preparat liniowy - Sulfur***

Preparat Sulfur został wykonany z krystalicznej siarki z użyciem urządzenia do potencjonowania opartego na przenoszeniu informacji za pomocą akceleratora cząstek pola torsyjnego i potencjonowania wykorzystującego poprzeczny ruch matrycy względem wiązki cząstek pola torsyjnego. Urządzenie do potencjonowania naszej konstrukcji opisane zostało w pracach<sup>3,7</sup>. Preparaty uzyskane tą metodą, z czystej substancji wyjściowej, wyróżniamy od preparatów komercyjnych określeniem HF podanym po oznaczeniu potencji (HF - High Fidelity). Do badań tych nie można wykorzystać komercyjnych leków homeopatycznych ze względu na wysoki poziom zanieczyszczeń informacyjnych wprowadzanych w procesie wytrząsania. Zagadnienie to opisane zostało w pracy<sup>7</sup>.

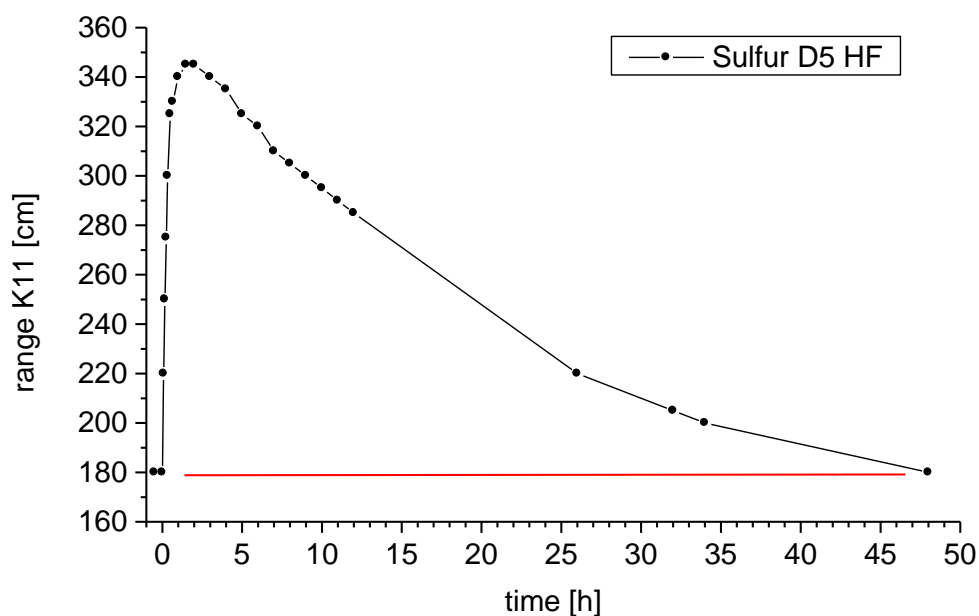
Sprawdziliśmy na ile metoda infekcji fiolki z wodą od naszego organizmu odzwierciedla wyniki uzyskiwane z krwi. Dla uzyskania infekcji na fiolkę z 10ml wody zastosowaliśmy metodę kontaktu boku palca wskazującego z fiolką przez czas trzech minut. Końce palców uznaliśmy za obszar źle odzwierciedlający całość ciała, jako że znajdują się tam czakramy. Na rys. 4 pokazane zostały spektra informacji przeniesionej z palca na fiolkę z

wodą i z 10ml krwi żyłnej, po 5h od wypicia 1ml preparatu Sulfur D5 HF. Sygnał z infekcji z palca był o 10% niższy niż sygnał z krwi.



Rys. 4. Spektrogramy uzyskane po pięciu godzinach od wypicia 1ml preparatu Sulfur D5 HF (K11 300). Czarne kwadraty - spektrum uzyskane z fiołki z wodą infekowanej 3 min od palca, czerwone kółka - spektrum z krwi (kopia 1:1). Oś odciętych - kąt mierzony w stopniach, oś rzędnych - zasięg promieniowania Kategorii K11 z próbek na wyjściu spektroskopu mierzony w centymetrach.

Z porównania spektrum widzimy, że sygnał siarki, który dostał się do krwi jest dobrze odzwierciedlony w infekcji fiołki z wodą z palca. Oprócz sygnału siarki widoczny jest sygnał elektronów zawsze obecny w organizmie, pierwiastki biogenne: wodór, węgiel, tlen, a także żelazo z krwi. Przy końcu wykresu widoczny sygnał srebra pochodzi od wypełnienia srebrem szczelin kolimatorów w spektroskopie. Sygnał siarki jest najwyższy, więc to on jest odzwierciedlony na wykresie farmakokinetyki rys 5.

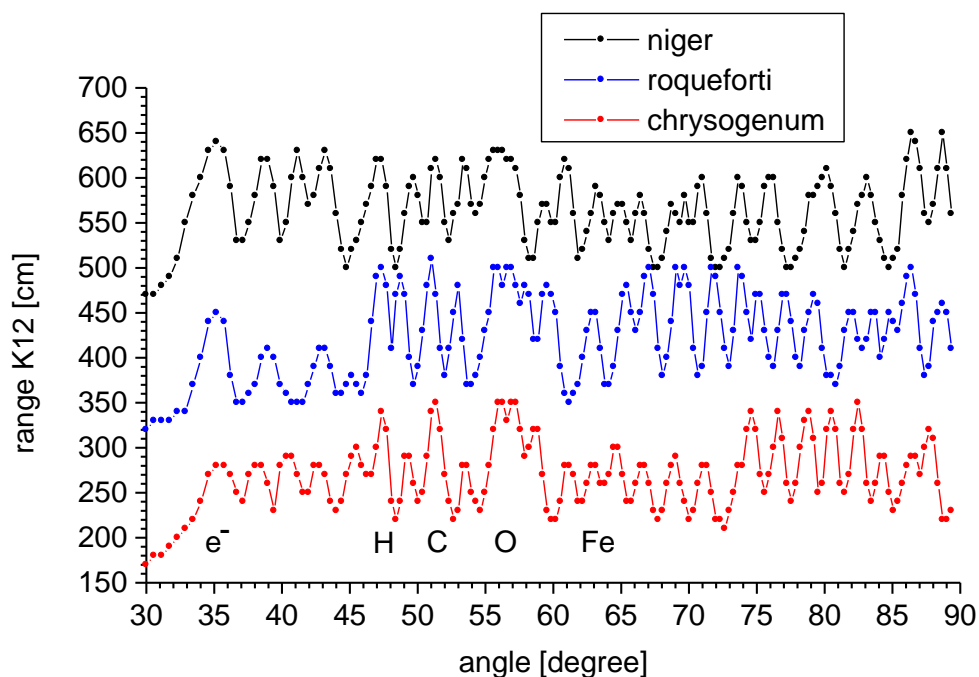


Rys. 5. Farmakokinetyka preparatu Sulphur D5 HF (K11 300cm) po wypiciu 1ml preparatu. Oś odciętych - czas od zażycia preparatu homeopatycznego, oś rzędnych - zasięg promieniowania Kategorii K11 z próbek infekowanych od palca w ciągu 3min mierzony w centymetrach. Czerwona pozioma linia odzwierciedla poziom tła organizmu.

Na wykresie farmakokinetyki rys 5 widzimy, że sygnał siarki w organizmie narasta szybko w ciągu kilkadziesiąt minut, osiągając maksimum po dwóch godzinach a następnie jest powoli eliminowany przez ponad jedną dobę. Mając farmakokinetykę zwykłego liniowego preparatu, możemy teraz przystąpić do badań preparatów infekcyjnych.

### Preparaty wirowe

Na wykresie rys. 6 przedstawione zostały krzywe spektralne trzech mikrogrzybów, których plecha ma ciemną barwę: *Aspergillus niger*, *Penicillium roqueforti* i *Penicillium chrysogenum*. Mikrogrzyby te są wykorzystywane przez firmę Sanum do produkcji leków Nigersan, Fortakehl i Notakehl. W przypadku tych leków firmy Sanum infekcyjność nie jest tak duża, jak w przypadku wykonanych z około 0,4g plechy mikrogrzybów wyhodowanych na podłożu stałym, z użyciem kopiowania akceleratorek cząstek pola torsyjnego. Niemniej jednak postawione obok innych leków homeopatycznych po kilku dniach powodują przeniesienie na nie dodatkowej informacji. Szczepy do badań uzyskano dzięki uprzejmości dr inż. Sylwii Stępniewskiej-Jarosz z Banku Patogenów Roślin i Badania ich Bioróżnorodności Instytutu Ochrony Roślin - PIB w Poznaniu.

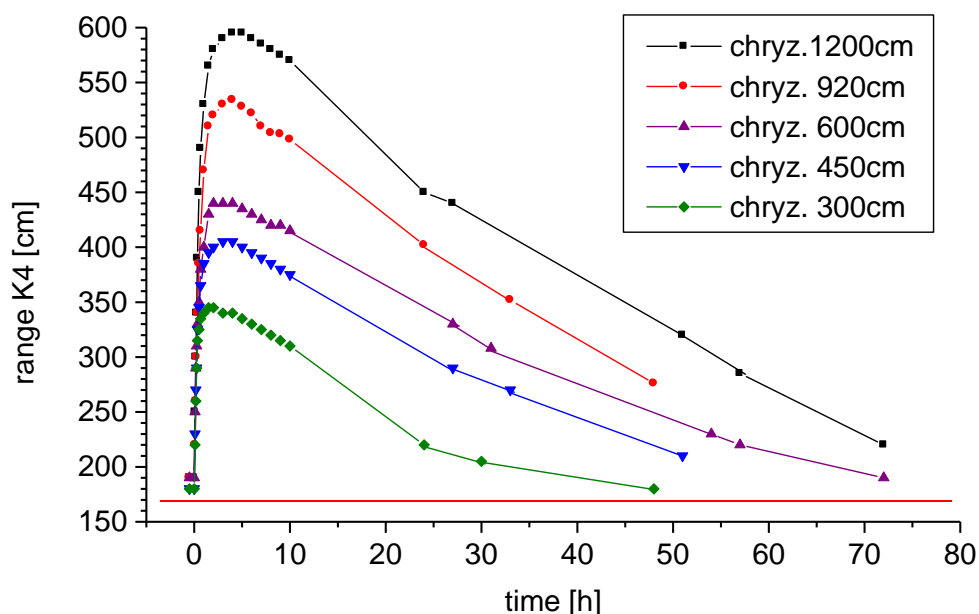


Rys. 6. Spektrogramy z preparatów homeopatycznych otrzymanych z plechy zeszkrobanej ze stałego podłoża hodowlanego trzech mikrogrzybów, po kolei od góry: *Aspergillus niger* (czarne kółka), *Penicillium roqueforti* (niebieskie kółka) i *Penicillium chrysogenum* (czerwone kółka). Informacja, która mogła zostać przechwycona przez plechę od promieniowania polistyrenowych szalek Petriego, została skasowana przez chwilowe skompensowanie ziemskiego pola magnetycznego. Preparaty zostały wykonane metodą kopiowania sygnału z użyciem akceleratora cząstek pola torsyjnego. Oznaczenia:  $e^-$  - elektrony, H - wodór, C - węgiel, O - tlen, Fe - żelazo, większość pozostałych pików pochodzi od skondensowanych układów aromatycznych barwników melaninopodobnych. Oś odciętych - kąt wiązki padającej względem płaszczyzny łamiącej mierzony w stopniach, oś rzędnych - zasięg promieniowania Kategorii K12 z próbek na wyjściu spektroskopu mierzony w centymetrach. Dla przejrzystości górne wykresy zostały przesunięte o wartość 150cm i 300cm.

### *Penicillium chrysogenum*

Korzystając z metody stosowanej w poprzednim doświadczeniu z użyciem preparatu siarki, zbadano farmakokinetykę preparatu *Penicillium chrysogenum* o Kategorii odpowiadającej nalewce pierwotnej. Wzmacniając sygnał akceleratorem pola torsyjnego uzyskano preparaty na 20% alkoholu o kolejno rosnących zasięgach promieniowania z fiołki o średnicy 20mm: 300cm, 450cm, 600cm, 920cm, 1200cm. Preparaty te po kolei zażywała w okresie około dwóch tygodni ta sama osoba (po 1ml) i badano farmakokinetykę. Zasięg promieniowania 300cm odpowiada mniej więcej preparatowi homeopatycznemu D12, a zasięg 1200cm preparatowi D240. Wynik zmian intensywności promieniowania tych preparatów w organizmie ludzkim przedstawia rys. 7.





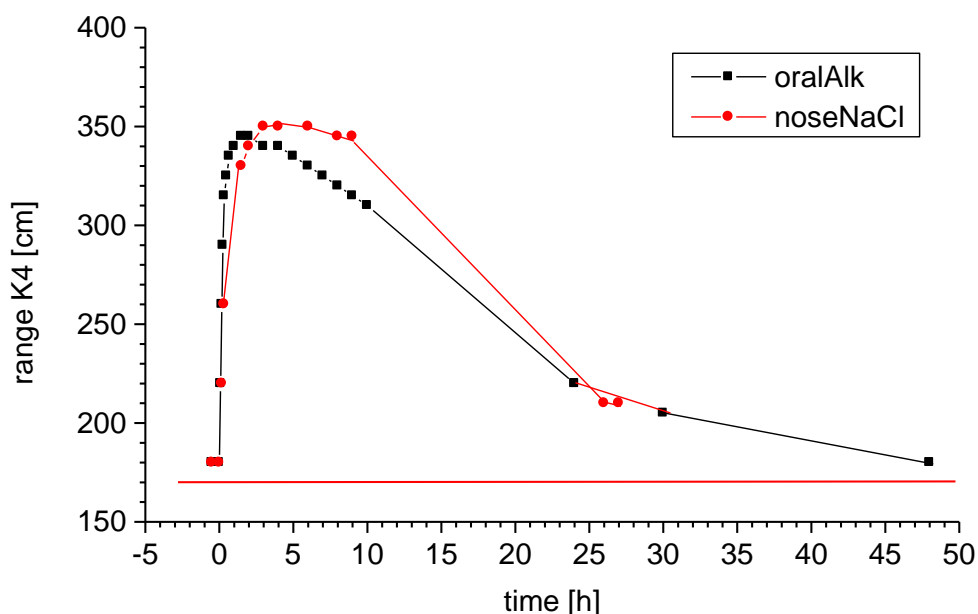
Rys. 7. Farmakokinetyka preparatów homeopatycznych *Penicillium chrysogenum* o różnych zasięgach mierzonych dla najsilniejszego promieniowania - K4. Kolejno od góry: 1200cm, 920cm, 600cm, 450cm, 300cm. Oś odciętych - czas od zażycia 1ml preparatu homeopatycznego, oś rzędnych - zasięg promieniowania Kategorii K4 z próbek infekowanych od palca w ciągu 3min mierzony w centymetrach. Czerwona pozioma linia odzwierciedla poziom tła organizmu.

Krzywe z rys. 7 dostarczają bardzo ważnych informacji pokazujących, że nachylenie wzrostu promieniowania informacji homeopatycznej w organizmie jest mniej więcej stałe dla kolejnych zasięgów zażytego preparatu i podobnie stałe nachylenie występuje w procesie eliminacji informacji. Z krzywych tych możemy określić okres półtrwania informacji w organizmie. Dla preparatu o zasięgu 300cm (D12) wynosił on około 18h, natomiast dla preparatu o zasięgu 1200cm (D240) około 42h. Z tego słusznym wydaje się przyjęte ogólnie przyjmowanie leków o niskiej potencji dwa lub trzy razy dziennie, natomiast dla leków o potencji 200 jak widać wystarczy przyjmowanie raz dziennie. Nie wchodzimy tu w ideę podawania tylko jednej dawki leku o wysokiej potencji propagowanej przez Rajana Sankarana. Pokazana na rys. 7 farmakokinetyka wydaje się mieć własności uniwersalne, a zarówno przyrost informacji w organizmie jak i jej eliminacja następują prawdopodobnie w sposób aktywny, z wykorzystaniem jakiś mechanizmów wspomaganie. Przy tym niekoniecznie muszą to być bardzo skomplikowane mechanizmy, wiemy na przykład, że substancje aromatyczne i pierścienie w których mogą krążyć cząstki pola torsyjnego mają tendencję do wzmacniania sygnałów, a jony dwuwartościowe i w szczególności trójwartościowe np.  $Al^{3+}$ , do ich eliminacji.

Oznaczyliśmy też farmakokinetykę kropli do nosa *Penicillium chrysogenum* D12 HF opartych na soli fizjologicznej. Na wykresie rys. 8 mamy porównanie działania 0,2ml kropli wprowadzonych do nosa z farmakokinetyką po doustnym zażyciu 0,2ml roztworu alkoholowego. Obie metody podania leku dały tę samą intensywność informacji homeopatycznej w organizmie.

W jaki sposób działa *Penicillium chrysogenum* na nasz organizm nie wiemy. Dwa spodziewane oddziaływania to postać homeopatyczna penicyliny produkowanej przez te mikrogrzyby i stymulacja układu immunologicznego przez substancje lipopolisacharydowe

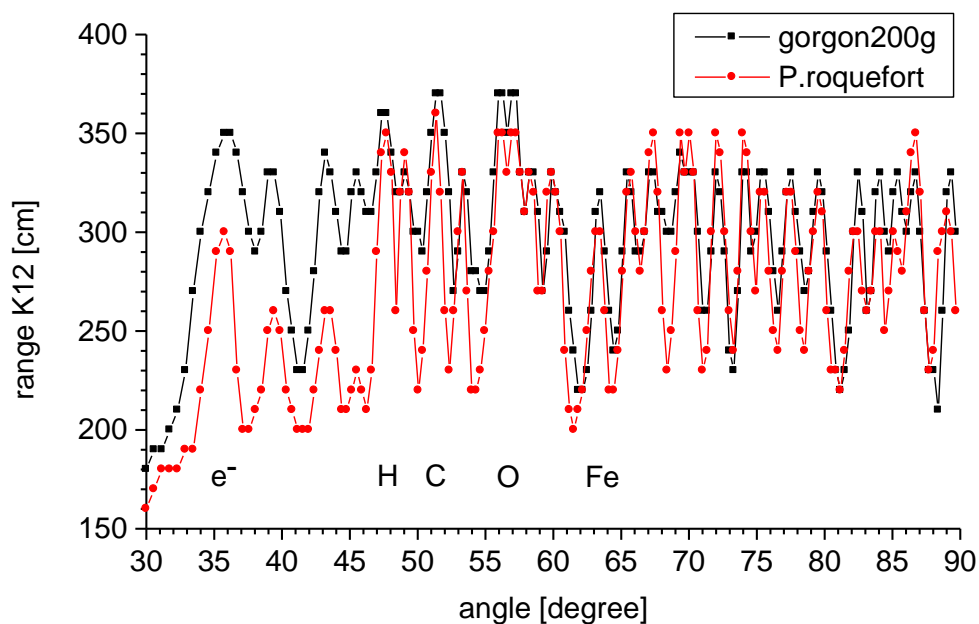
na ich powierzchni. Nasze bardzo ograniczone próby z preparatami pochodnymi od nalewki pierwotnej C12 i C24, a więc w których specyficzne kąty substancji są właściwie odtworzone, w przeciwieństwie do potencji, które nie są wielokrotnością liczby dwanaście, określanych przez nas jako złamane, pokazują wysoką efektywność takich preparatów w przeziębieniach czy ropnym zapaleniu zęba.



Rys. 8. Porównanie farmakokinetyki preparatu *Penicillium chryzogenum* podanego jako krople do nosa na soli fizjologicznej (czerwone kółka) i zażytego doustnie na 20% alkoholu (czarne kwadraty) w ilości 0,2ml. Oś odciętych - czas od podania preparatu homeopatycznego mierzony w godzinach, oś rzędnych - zasięg promieniowania Kategorii K4 z próbek infekowanych od palca w ciągu 3min mierzony w centymetrach. Czerwona pozioma linia odzwierciedla poziom tła organizmu.

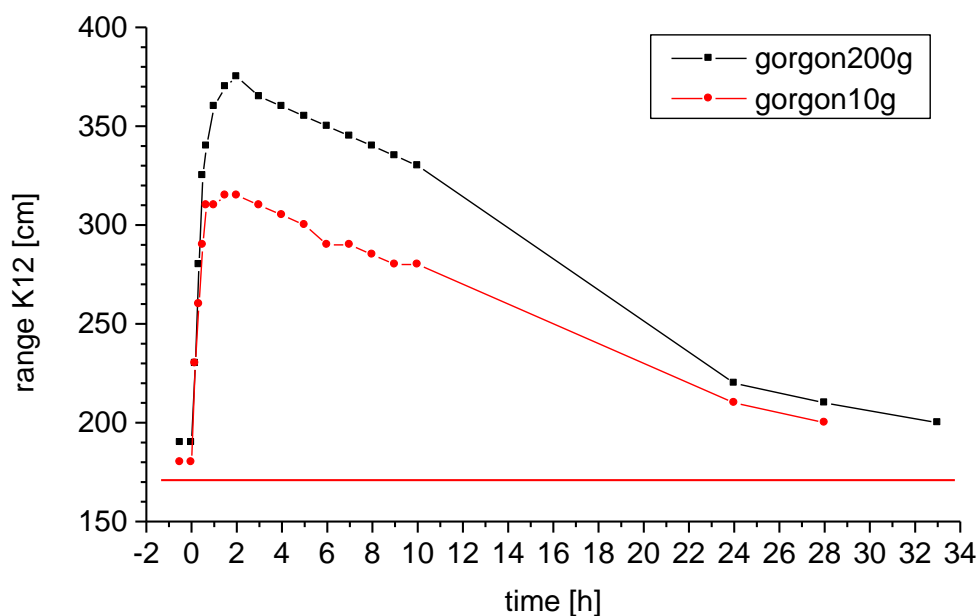
### ***Penicillium roqueforti* - kto zjadł ser?**

Kolejnym zbadanym mikrogrzybem był *Penicillium roqueforti*. Oprócz tego że stosowany jest jako lek homeopatyczny znajdujemy go w niebieskim serze pleśniowym Roquefort, Gorgonzola i wielu innych. Skoro substancje aromatyczne, w szczególności ze skondensowanymi pierścieniami aromatycznymi, jak też ich preparaty homeopatyczne mają zdolność infekcji, sprawdziliśmy na ile zjedzony ser pleśniowy wprowadzi informację homeopatyczną do organizmu. Na rys. 9 przedstawione jest porównanie wykresów spektralnych mikrogrzyba *Penicillium roqueforti* i informacji zainfekowanej z palca na fiolkę z 10ml wody po zjedzeniu 200g sera Gorgonzola. Wszystkie sygnały *Penicillium roqueforti* są widoczne w spektrum z organizmu, jakkolwiek są pewne różnice ilościowe. Mamy tu więc przykład wprowadzenia do organizmu informacji homeopatycznej wprost z substancji aromatycznej, bez użycia potencjonowania. Na wykresie mamy więcej sygnałów niż tylko te od substancji aromatycznych. Jak pokazaliśmy we wcześniejszym artykule <sup>1</sup> preparaty infekcyjne mają zdolność przechwytywania informacji napotkanej po drodze i przenoszenia jej dalej na drodze infekcji.



Rys. 9. Porównanie spektrów mikrogrzyba *Penicillium roqueforti* i informacji z organizmu po 5h od zjedzenia 200g sera francuskiego Gorgonzola Dolce B z informacją homeopatyczną skasowaną w lodówce. Oznaczenia: e<sup>-</sup> - elektrony, H - wodór, C - węgiel, O - tlen, Fe - żelazo. Oś odciętych - kąt mierzony w stopniach, oś rzędnych - zasięg promieniowania Kategorii K12 z próbek na wyjściu spektroskopu mierzony w centymetrach.

Na wykresie rys. 10 przedstawiliśmy porównanie farmakokinetyki tworzenia i zaniku sygnału *Penicillium roqueforti* w organizmie po zjedzeniu 20 g i 200g sera Gorgonzola.

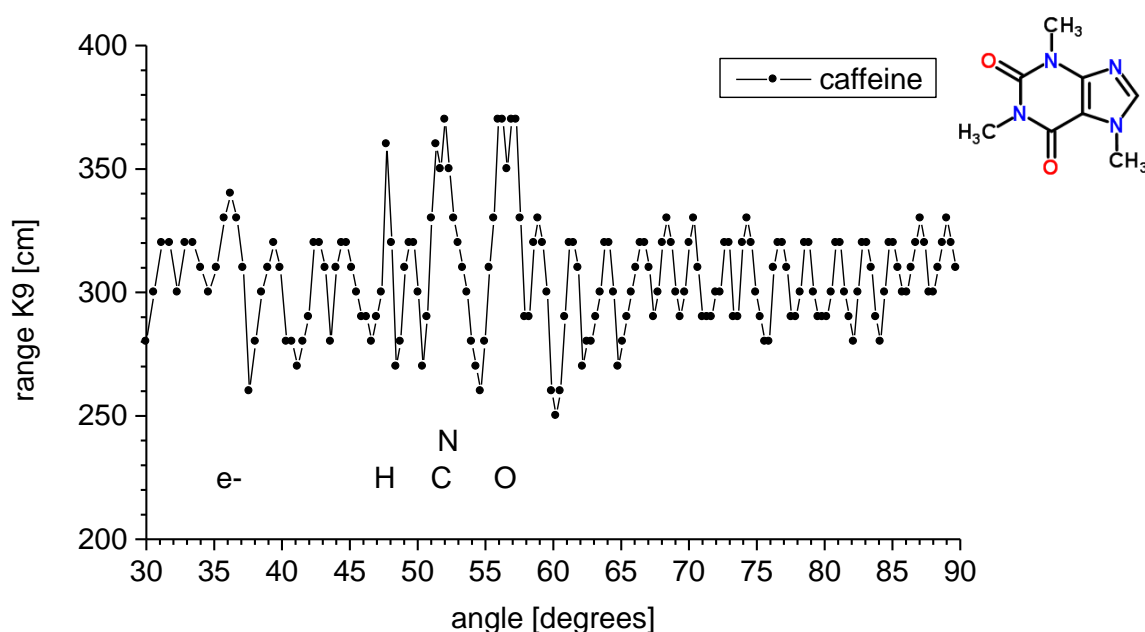


Rys. 10. Farmakokinetyka sygnału *Penicillium roqueforti* w organizmie po zjedzeniu 20 g (czerwone kółka) i 200g (czarne kwadraty) sera Gorgonzola. Oś odciętych - czas od zjedzenia

sera, oś rzędnych - zasięg promieniowania Kategorii K12 z próbek infekowanych od palca w ciągu 3min mierzony w centymetrach. Czerwona pozioma linia odzwierciedla poziom tła organizmu.

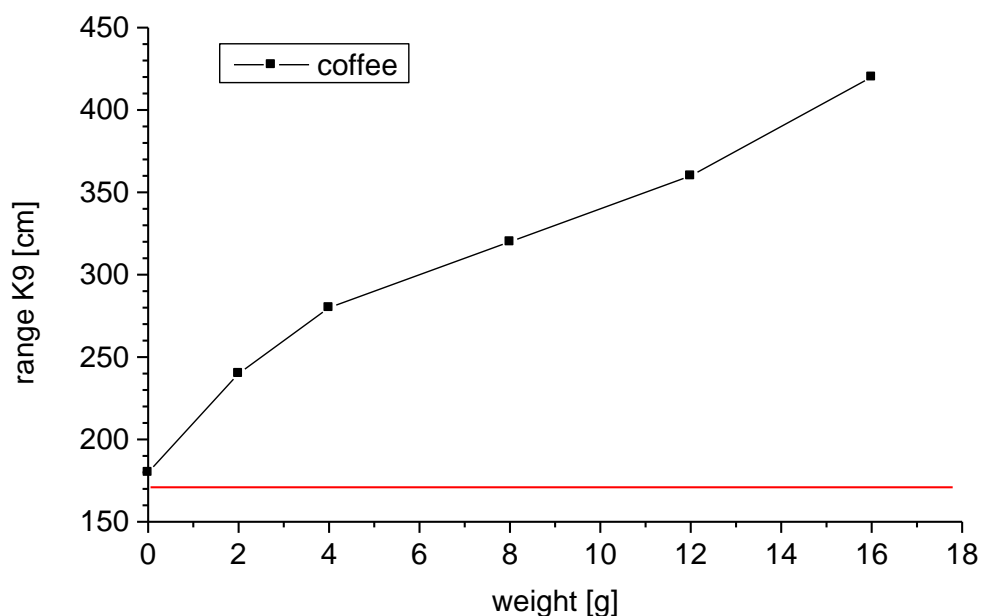
## Kawa

Kofeina mimo, że nie jest to oczywiste z samego wzoru chemicznego, jest związkiem aromatycznym, co najmniej w zakresie pierścienia imidazolowego. Wiemy to z badań NMR i obliczeń kwantowomechanicznych.<sup>8</sup> Wzór chemiczny kofeiny jest dosyć prosty, jednak spektrum cząstek pola torsyjnego tego związku zawiera dużo sygnałów pochodzących od nietypowego układu aromatycznego. Spektrum to, jak i budowę związku przedstawiono na rys. 11.

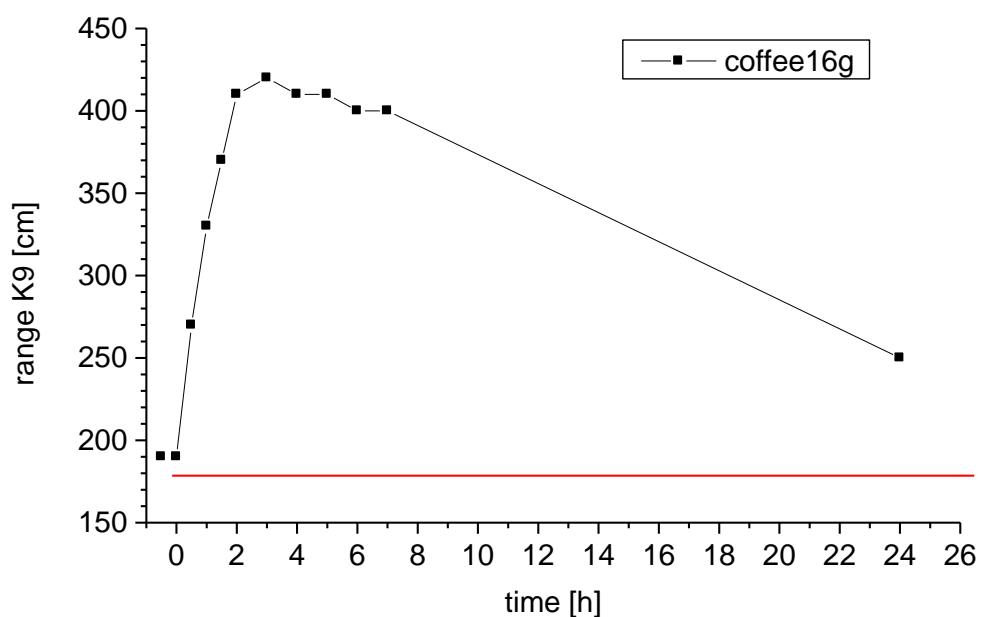


Rys. 11. Spektrum cząstek pola torsyjnego kofeiny. Oznaczenia: e<sup>-</sup> - elektrony, H - wodór, C - węgiel, N - azot, O - tlen, pozostałe liczne i nieco mniejsze piki pochodzą od niesymetrycznego układu aromatycznego. Oś odciętych - kąt mierzony w stopniach, oś rzędnych - zasięg promieniowania Kategorii K9 z próbek na wyjściu spektroskopu mierzony w centymetrach.

Ogólnie wiadomo, że kawa nie działa pobudzająco natychmiast, ale po około czterech godzinach. Jest to ogólnie czas po jakim występuje w organizmie maksimum sygnału homeopatycznego. Sprawdziliśmy więc zależność intensywności sygnału homeopatycznego pochodzącego od kawy w zależności od zażytej jej ilości (rys. 12), jak również farmakokinetykę (rys. 13) Wykorzystano kawę rozpuszczalną Bellarom Caffè Gold instant coffee.



Rys. 12. Zależność intensywności sygnału homeopatycznego w organizmie od ilości wypitych kaw, a precyzyjniej od spożytej masy kawy rozpuszczalnej. Pomiarów dokonywano w kolejnych dniach po 3h od spożycia kawy. Oś odciętych - masa kawy rozpuszczalnej, oś rzędnych - zasięg promieniowania Kategorii K9 z próbek infekowanych od palca w ciągu 3min mierzony w centymetrach. Czerwona pozioma linia odzwierciedla poziom tła organizmu.



Rys. 13. Farmakokinetyka sygnału pochodzącego od kawy. Dla kawy zaparzonej z 16g kawy rozpuszczalnej maksimum sygnału występuje po czasie dwu do ośmiu godzin po wypiciu. Oś odciętych - czas od wypicia kawy, oś rzędnych - zasięg promieniowania Kategorii K9 z próbek infekowanych od palca w ciągu 3min mierzony w centymetrach. Czerwona pozioma linia pokazuje naturalny poziom tła organizmu, bez zażywania leków homeopatycznych, kawy, czy sera pleśniowego.

Nasze doświadczenia wprawdzie nie rozstrzygają, czy działanie inhibujące receptory adenozyliny ma chemiczna postać kofeiny, czy preparat homeopatyczny kofeiny, jednak pokazują znaczne prawdopodobieństwo tego, że może chodzić o postać homeopatyczną. Zarówno wypicie 16g kawy rozpuszczalnej, jak i preparatu homeopatycznego, dającego tę samą intensywność informacji homeopatycznej w organizmie, dawało podobny objaw bezsenności.

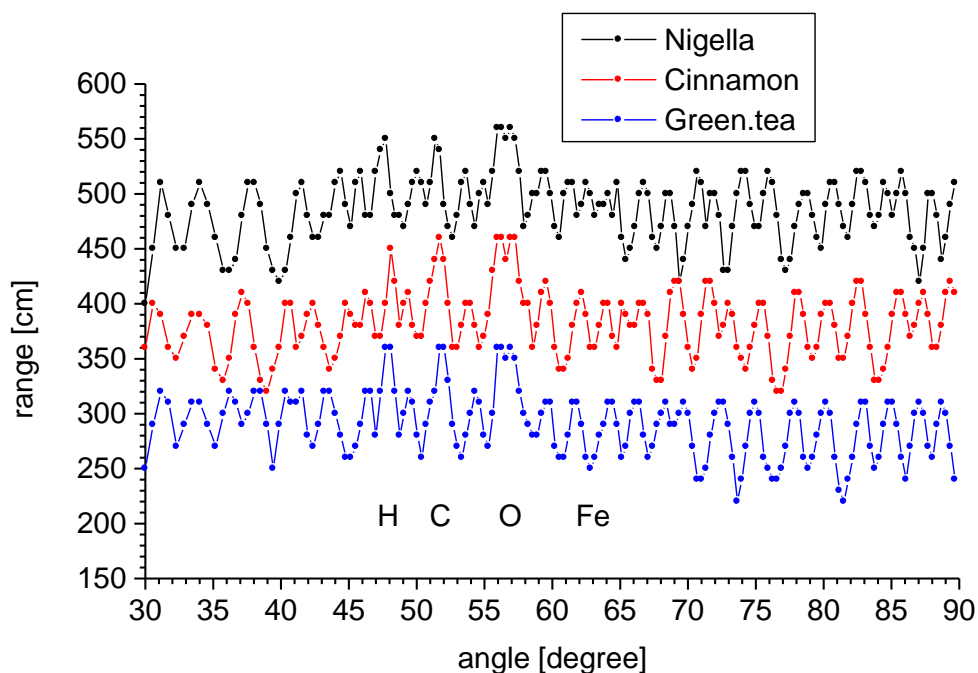
### Przyprawy kuchenne

Wygląda na to, że prawie wszystkie ciemne przyprawy kuchenne mają zdolność infekcji. Kiedy do słoika z przyprawą wstawimy fiolkę z 10ml wody, możemy się spodziewać, że po trzech dniach w fiolce będziemy mieli preparat homeopatyczny na poziomie potencji 12. Tabela 1 podaje zasięgi promieniowania uzyskane z bezpośredniej infekcji wody przez przyprawy i herbatę.

Tabela 1

Przyprawa	Kategoria	1 dzień	2 dni	3 dni	4 dni	
		zasięg [cm]	zasięg [cm]	zasięg [cm]	zasięg [cm]	
cynamon	K12	270	300	340	340	
czarnuszka	K12	340	370	400	400	
zielona herbata	K12	270	300	330	340	
czarna herbata	K12	270	310	340	350	
pieprz	K3	240	290	320	330	
kurkuma korzeń	K6	260	320	350	360	
kurkuma proszek	K6	270	330	350	360	
majeranek	K12	270	350	370	370	
chilli	K8	270	320	330	340	
kontrola	K12	160	170	170	170	

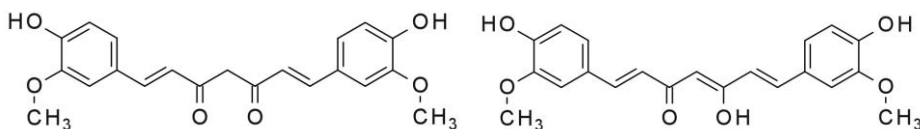
Więcej, zaparzona herbata też ma właściwości infekcyjne. Kiedy zaparzyliśmy w kubku liście zielonej herbaty i badaliśmy zasięg promieniowania cząstek pola torsyjnego z esencji przelanej do 10ml fiolki, po 24h i po 48h, zasięg K12 z fiolki po 24h wyniósł 290cm a po 48h - 410cm. Infekcja na fiolkę z wodą postawioną obok fiolki z 48-godzinna esencją spowodowała w ciągu 24h powstanie kopii o zasięgu odpowiadającym 95% zasięgu esencji. Na rys. 14 przedstawione zostały spektra wody zainfekowanej przez czarnuszkę, cynamon i zieloną herbatę.



Rys. 14. Spektrogramy z preparatów homeopatycznych otrzymanych poprzez infekcję, po kolei od góry, z nasion czarnuszki (*Nigella sativa*), cynamonu mielonego i suszu zielonej herbaty. Oznaczenia: H - wodór, C - węgiel, O - tlen, Fe - żelazo, większość pozostałych pików pochodzi od układów aromatycznych Os odciętych - kąt mierzony w stopniach, os rzędnych - zasięg promieniowania Kategorii K1 dla czarnuszki, a K12 dla cynamonu i zielonej herbaty, z próbek na wyjściu spektroskopu mierzony w centymetrach. Dla przejrzystości górne wykresy zostały przesunięte o wartość 100cm i 200cm. Infekcja dokonana z około 50g surowca.

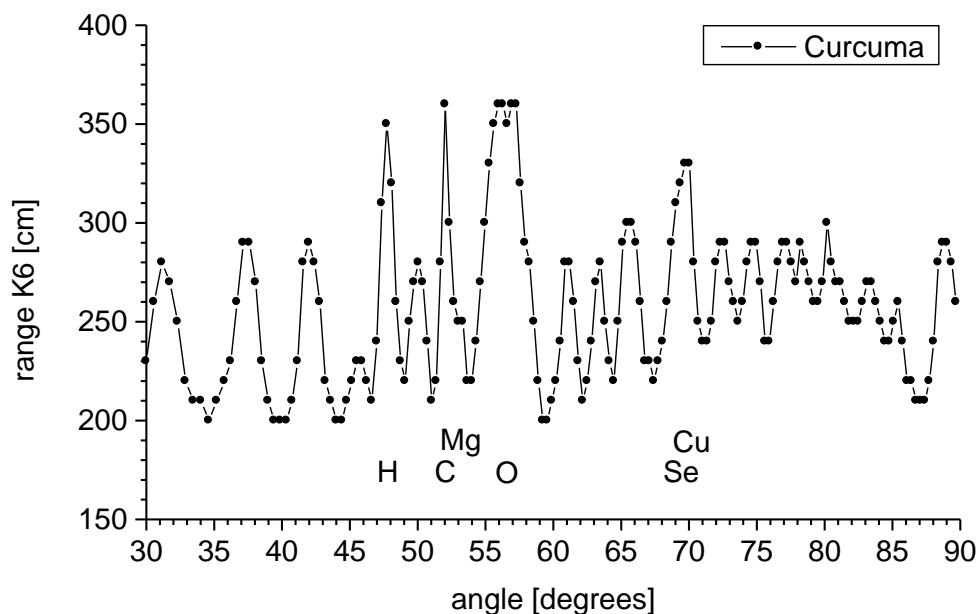
### Kurkuma

W przypadku bardzo dobrze działającej przeciwzapalnie kurkumy czy jej głównego składnika kurkuminy natrafiamy na barierę w postaci bardzo słabej wchłaniania z przewodu pokarmowego. Dodawanie piperyny, czy też tradycyjnego hinduskiego zestawu trzech przypraw Trikatu, zwiększających wchłanianie nie daje takich efektów jak byśmy chcieli. Kurkuma działa jednak infekcyjnie na fiołkę z wodą wciśniętą w przyprawę w słoiczku. Możemy więc spodziewać się efektywności preparatu homeopatycznego. Główny składnik kurkumina występuje w postaci ketonowej i enolowej (rys. 15). Ta druga postać posiada oprócz pierścieni aromatycznych długi łańcuch wiązań podwójnych, łączących orbitale  $\pi$  obu pierścieni. Dzięki temu kurkumina ma żółto-pomarańczową barwę.



Rys. 15. Postać ketonowa i enolowa kurkuminy

Na rys. 16 przedstawione jest spektrum z fiołki z wodą infekowanej proszkiem kurkumy przez trzy dni. Wskazuje ono na obecność złożonego układu aromatycznego.



Rys. 16. Spektrum sygnału infekcyjnego kurkumy na wodę. Oznaczenia: H - wodór, C - węgiel, Mg - magnez, O - tlen, Se -selen, Cu - miedź. Liczne piki znajdują się w miejscach nie zajmowanych przez pierwiastki chemiczne, są to piki pochodzące od układu wiązań sprzężonych i pierścieni aromatycznych.

Pojedyncze nasze próby pokazały efektywność preparatu Curcuma C12 HF w przewlekłych stanach uczuleniowych. Jest więc sens szerszego badania właściwości leczniczych preparatów homeopatycznych kurkumy lub kurkuminy.

## Wąż Mojżesza

### Jadowite węże

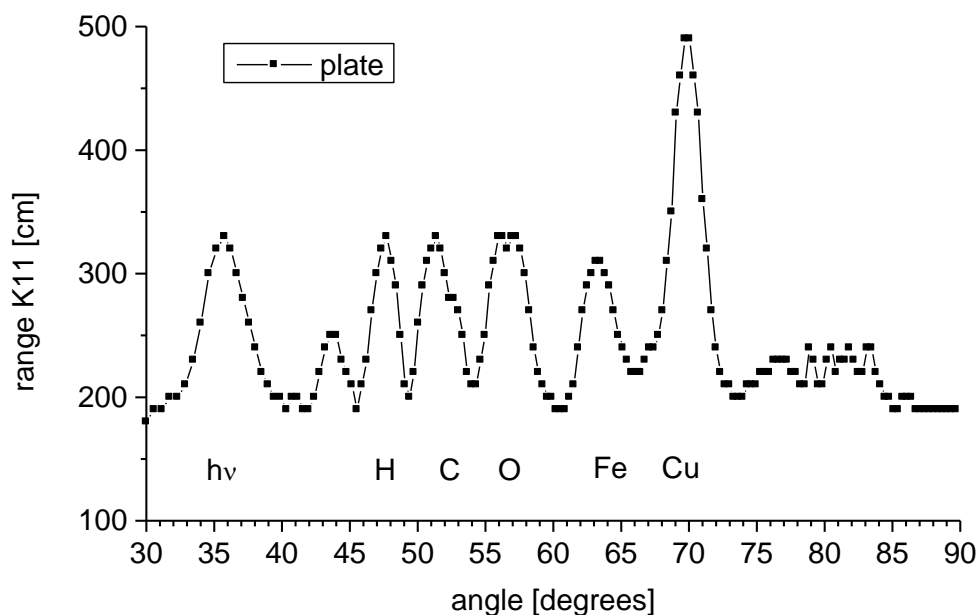
Od góry Hor szli w kierunku Morza Czerwonego, aby obejść ziemię Edom; podczas drogi jednak lud stracił cierpliwość. I zaczęli mówić przeciw Bogu i Mojżeszowi: „Czemu wyprowadziliście nas z Egiptu, byśmy tu na pustyni pomarli? Nie ma chleba ani wody, a uprzykrzył się nam już ten pokarm mizerny”. Zesłał więc Pan na lud węże o jądzie palącym, które kąsały ludzi, tak że wielka liczba Izraelitów zmarła. Przybyli więc ludzie do Mojżesza mówiąc: „Zgrzeszyliśmy, szemrząc przeciw Panu i przeciwko tobie. Wstaw się za nami do Pana, aby oddalił od nas węże”. I wstawił się Mojżesz za ludem. Wtedy rzekł Pan do Mojżesza: „Sporządź węża i umieść go na wysokim palu; wtedy każdy ukąszony, jeśli tylko spojrzy na niego, zostanie przy życiu”. Sporządził więc Mojżesz węża miedzianego i umieścił go na wysokim palu. I rzeczywiście, jeśli kogo wąż ukąsił, a ukąszony spojrzał na węża miedzianego, zostawał przy życiu.<sup>9</sup>

Następnym doświadczeniem było sprawdzenie, na ile zacytowana powyżej z Biblii metoda, patrzenia na węża wykonanego z miedzi, polecona Mojżeszowi przez samego Boga, mająca uchronić przed śmiercią od ukąszenia żmiji była działaniem informacją homeopatyczną na organizm. Wiemy z naszych wcześniejszych nie pokazanych tu



doświadczeń, że metale wystawione na działanie promieni słonecznych silnie promieniują cząstkami pola torsyjnego, wiemy też z innych nie pokazanych tutaj doświadczeń, że oczy, a może raczej czakrą oczu odbierają sygnał homeopatyczny z przedmiotów, na które patrzymy. Wiemy też, o czym wspomniano powyżej, że pierścienie metalowe polakierowane albo utlenione na powierzchni akumulują i wzmacniają sygnał homeopatyczny, stąd wąż zrobiony z pierścieni, czy na przykład bransolet, będzie lepszy od zwykłej masy miedzi.

Na rys. 17 pokazane zostało spektrum z organizmu po dziesięciu minutach patrzenia na płytkę miedzianą  $100 \times 100 \times 6$  mm wystawioną na kwietniowe promienie słoneczne. Pomiar infekcji z palca na fiolkę z wodą dokonany został po dwóch godzinach. Widzimy dominujący sygnał miedzi.



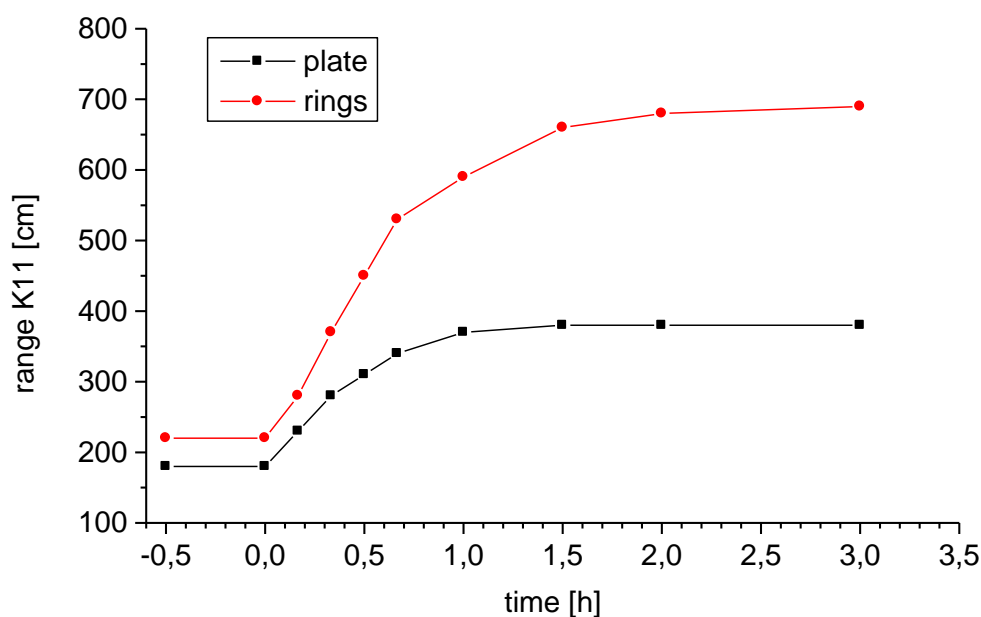
Rys. 17. Spektrum sygnału z organizmu po patrzeniu przez 10min na płytkę miedzianą znajdującą się na słońcu, przeniesione z palca poprzez infekcję na fiolkę z wodą. Oznaczenia: hv - fotony, H - wodór, C - węgiel, O - tlen, Fe - żelazo, Cu - miedź. Oś odciętych - kąt mierzony w stopniach, oś rzędnych - zasięg promieniowania Kategorii K11 z próbek na wyjściu spektroskopu mierzony w centymetrach (miedź promieniuje Kategorią 11)

Jako model węża Mojżesza, wzięto miedzianą mufę hydrauliczną o średnicy 60mm, na której na tokarni nacięto rowek, aby cząstki pola torsyjnego miały bardziej ograniczoną swobodę ruchu wzdłuż osi tulei i nie uciekały (rys. 18).



Rys. 18. Zdjęcie tulei miedzianej z nacięciem, która posłużyła jako model węża Mojżesza.

Na rys. 19 pokazano porównanie kinetyki informacji miedzi przeniesionej poprzez oczy po 10 minutach patrzenia na płytkę miedzianą i na model węża Mojżesza wystawionych na słońce.



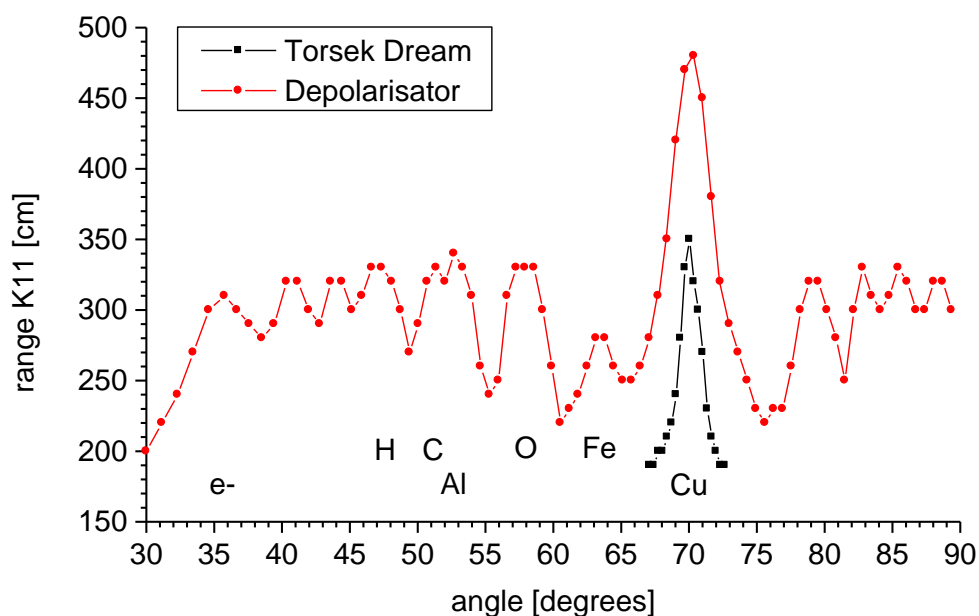
Rys. 19. Farmakokinetyka sygnału wprowadzonego do organizmu poprzez patrzenie na miedź umieszczoną na słońcu. Czarne kwadraty - płytka miedziana, czerwone kółka - nacięta tuleja miedziana. Oś odciętych - czas od zakończenia patrzenia na miedź, oś rzędnych - zasięg promieniowania Kategorii K11 z próbek infekowanych od palca w ciągu 3min mierzony w centymetrach.

Uzyskany wykres farmakokinetyki pokazuje, że sygnał uzyskany od tulei miedzianej jest dwukrotnie silniejszy od sygnału uzyskanego w tym samym czasie od blachy miedzianej. Sygnał ten od patrzenia przez dziesięć minut na tuleję oświetloną kwietniowymi promieniami Słońca odpowiada zażyciu leku homeopatycznego o potencji rzędu 200 do 500. Możemy więc potraktować biblijny opis, do którego ojczulkowie w Biblii Tysiąclecia dopisali w uwagach, że to zabobon, że chodziło o akt ufności, jako opis realnie działającej homeopatycznej metody leczenia sprzed kilku tysięcy lat.

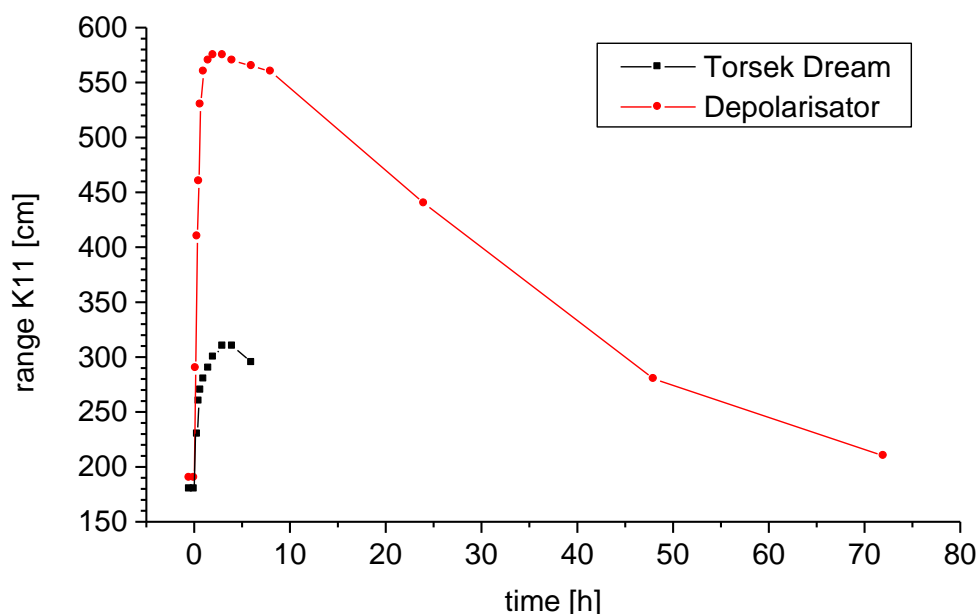
## Magnetoterapia

Oddziaływanie cząstek pola torsyjnego poprzez oczy nasuwa też skojarzenie, że podobnie działa magnetostymulacja i magnetoterapia wytwarzając poprzez miedziane uzwojenia cewek preparat homeopatyczny miedzi. Sygnał miedzi ma ważne działanie regulacyjne w organizmie między innymi poprzez enzymy miedziowo-cynkowe, takie jak NADH-oksydazy z podgrupy ECTO-NOX. Działają one cyklicznie w organizmie, na przykład oksydaza CNOX odpowiedzialna jest za 24-minutowy cykl utleniania/redukcji w komórkach, dokonuje naprzemiennie zrywania i ponownego wiązania mostków disiarczkowych cytoszkieletu, co w ogóle umożliwia wzrost usztywnionych cytoszkieletem komórek zwierzęcych.<sup>10</sup> Jak podają D. J. Moore i wsp. wyizolowane białko odlicza stabilnie te okresy niezależnie od temperatury i nie wypada z fazy po zamrożeniu.<sup>11</sup> Same jony miedzi w roztworze wykazują analogiczny cykl potencjału redoks.<sup>12</sup> Oznacza to, że nie jest to samodzielny zegar, a odbiornik naturalnych sygnałów z otoczenia poprzez jony miedzi. Z naszych niepublikowanych badań wynika, że cewki elektromagnetyczne podłączone do generatora niskich częstotliwości wytwarzają dla wielu doprowadzonych do nich częstotliwości taki właśnie cykl 12/12 minut, w którym następuje zmiana dwóch Kategorii pola torsyjnego. Np. przy częstotliwości 53,5Hz zmiana Kategorii K4 i K5. W tym przypadku odbiór sygnałów cząstek pola torsyjnego musi nadążać za stosunkowo szybką zmianą informacji homeopatycznej. Ale wiemy też, że nie zawsze sygnały cząstek pola torsyjnego rozchodzą się przez wiele minut po całym ciele tak, jak w przypadku przytoczonych pomiarów leków homeopatycznych. Pomiędzy wnętrzem dłoni a powiekami (czakramy) rozchodzą się w ułamku sekundy. Wykorzystujemy to w naszej metodzie pomiaru typu kinezyjologicznego.

Poniżej na rys. 20 i 21 przedstawiamy wyniki pomiarów sygnału miedzi w organizmie, od urządzeń własnej konstrukcji Depolaryzator 2 (skonstruowany pierwotnie do usuwania fantomów pola torsyjnego pozostawianych przez infekcyjne preparaty homeopatyczne na półkach) i Torsek Dream (Urządzenie w zamierzeniu oddziałujące naprzemiennie na systemy neuroprzebieżnictwa serotonergicznego i dopaminergicznego - K4/K5<sup>13</sup> w celu polepszenia snu). Sygnał podobnie jak w poprzednich doświadczeniach pobierany był przez kontakt palca z fiolką z wodą.



Rys. 20. Spektrum sygnału z organizmu po 2 godzinach od oddziaływania przez 10min na stopę urządzeniem Depolaryzator 2 wytwarzającym magnetyczne fale trójkątne o indukcji magnetycznej około 0,5mT - czerwone kółka. Na wykresie znajduje się też fragment spektrum sygnału z organizmu po 20min działania urządzenia Torsek z odległości 30 cm - czarne kwadraty. Fragment ten ograniczający się do piku miedzi, pokazuje, że nawet promieniowanie cewek używane w magnetostymulacji na poziomie nie przekraczającym jednej mikrotlesli (53,5 Hz) daje wyraźny sygnał miedzi w organizmie. Oznaczenia:  $e^-$  - elektrony, H - wodór, C - węgiel, O - tlen, Fe - żelazo, Cu - miedź, sygnały przy kącie  $42^\circ$  i przy  $84^\circ$  ułożone mniej więcej symetrycznie po dwóch stronach piku miedzi pochodzą od częstotliwości przebiegu elektrycznego 0,78Hz i niosą dodatkową informację miedzi wykrywaną rezonansowo. Oś odciętych - kąt mierzony w stopniach, oś rzędnych - zasięg promieniowania Kategorii K11 (Kategoria miedzi) z próbek na wyjściu spektroskopu mierzony w centymetrach.



Rys. 21. Farmakokinetyka sygnału homeopatycznego miedzi w organizmie po zastosowaniu oddziaływania urządzeń wytwarzających zmienne pole magnetyczne. Czerwone kółka - urządzenie Depolaryzator 2 wytwarzające pole magnetyczne 0,5mT, przez 10min, czarne kwadraty - urządzenie Torsek wytwarzające w odległości 30 cm pole magnetyczne mniejsze od  $1\mu\text{T}$  przez 20 minut. Oś odciętych - czas od zastosowania oddziaływania urządzenia, oś rzędnych - zasięg promieniowania Kategorii K11 z próbek infekowanych od palca w ciągu 3min mierzony w centymetrach.

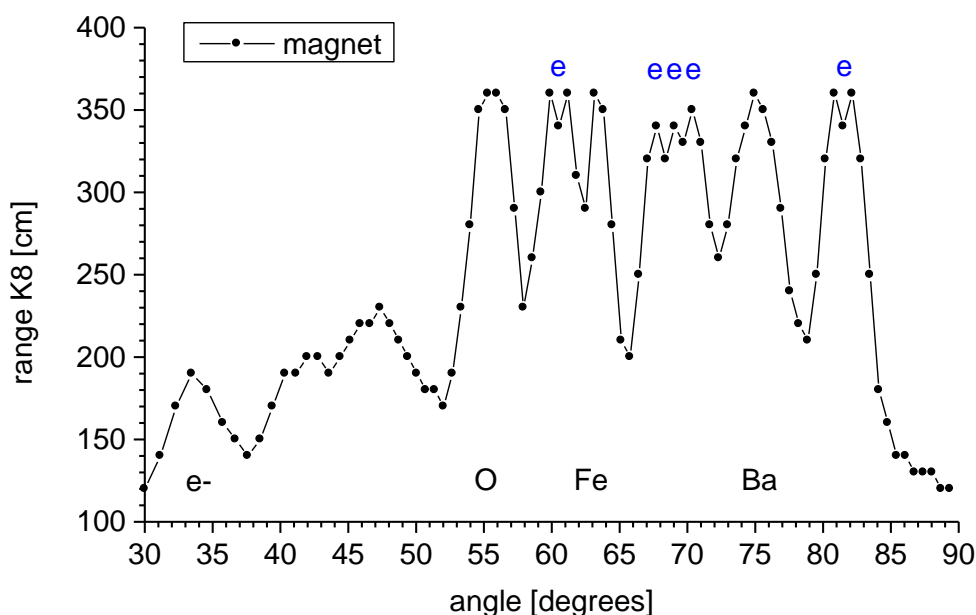
Wytwarzany przez cewki elektromagnetyczne strumień cząstek pola torsyjnego ma właściwości infekcyjne. Uzyskany na skutek 10 minut oddziaływania urządzeniem Depolaryzator 2 zasięg promieniowania sygnału miedzi (wynoszący 580cm na wykresie farmakokinetyki) odpowiada zastosowaniu preparatu homeopatycznego o potencji rzędu 200. Możemy więc mówić o wprowadzaniu do organizmu przez stosowanie urządzeń do magnetoterapii i magnetostymulacji sygnału homeopatycznego miedzi. Na wykresie rys. 20 możemy też dostrzec sygnał aluminium przechwycony od ramy na której jest nawinięte uzwojenie, pokazuje to że elementy konstrukcyjne takich urządzeń nie są obojętne dla czystości informacji homeopatycznej.

Na ile specyficznie oddziałują dodatkowe sygnały pochodzące od miedzi w związku z obecnością prądu przemiennego, położone mniej więcej symetrycznie po obu stronach miedzi nie wiemy. Wiemy ogólnie z literatury dotyczącej magnetoterapii, że różne częstotliwości mają specyficzne działanie w różnych schorzeniach, co staraliśmy się wykorzystać we wspomnianym urządzeniu Torsek Dream w oparciu o wiedzę w zakresie pól torsyjnych. Z samą homeopatyczną informacją miedzi możemy kojarzyć właściwości stymulujące w leczeniu niegojących się ran, złamań i oparzeń, właściwości te występują w szerokim zakresie różnych urządzeń do magnetoterapii, jakkolwiek istnieją też bardziej preferowane częstotliwości.

## Magnesy

Magnesy też są ciekawe z punktu widzenia homeopatii, szybko infekują wodę. Można się więc spodziewać, że przyłożone do ciała wytworzą w nim preparat homeopatyczny. Jaka będzie informacja? Taka jak składniki magnezu. Magnesy neodymowe nie zdobyły powszechnego uznania takiego jak magnesy z ferrytobaru, które jak to się powtarza w różnych opracowaniach zwiększają ukrwienie w małych naczynkach, działają przeciwbólowo, przeciwzapalnie, immunostymulująco i zwiększają wydolność wysiłkową.

Zbadaliśmy magnes toroidalny z ferrytobaru o średnicy 30mm. Wykonaliśmy kopię informacji cząstek pola torsyjnego na butelkę z 50ml wody urządzeniem do potencjonowania (stosunkowo duża objętość wody dla prawidłowego odwzorowania pola kształtu magnezu). Uzyskany preparat wykazywał następujące właściwości infekcyjne przy stosowaniu butelek z wodą o pojemności 50ml. Preparat uzyskany z magnezu posiadał zasięg promieniowania K10 - 300cm. Infekcja po 15s - 100cm, po 60s - 160cm, po 240s - 270cm. Na wykresie 22 przedstawiamy spektrum cząstek pola torsyjnego tego preparatu.



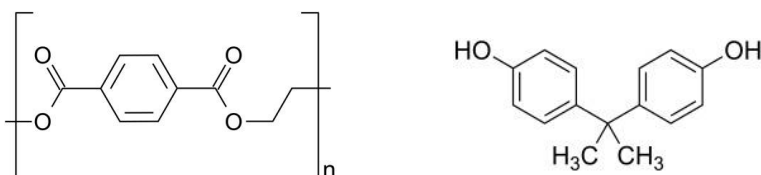
Rys. 22. Spektrum sygnału cząstek pola torsyjnego z magnezu z ferrytobaru. Oznaczenia:  $e^-$  - elektrony, O - tlen, Fe - żelazo, Ba - bar, e - sygnały pola kształtu od wirujących w magnezie elektronów, analogiczne jak w pierścieniach aromatycznych. Oś odciętych - kąt mierzony w stopniach, oś rzędnych - zasięg promieniowania Kategorii K10 z próbek na wyjściu spektroskopu mierzony w centymetrach.

Jak widzimy z wyników, magnesy wykazują infekcyjność i spektrum podobne do pierścieni aromatycznych. Mamy silny sygnał żelaza i baru. Sygnał baru jest dosyć powszechny w naszym otoczeniu, występuje w promieniowaniu cząstek pola torsyjnego z Ziemi i Słońca, jako że bar jest powszechnym produktem rozpadu uranu. Nie wiemy niestety jakie jest oddziaływanie fizjologiczne informacji baru

## Toksyny homeopatyczne - PET, Styropian

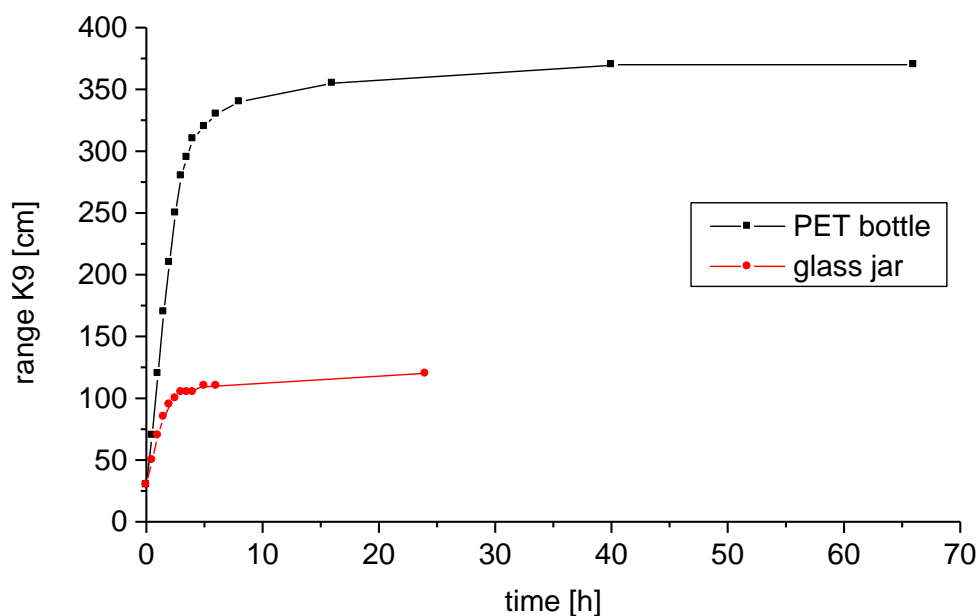
### Butelki PET

Stało się tak, że firmy butelkujące wodę rozreklamowały wodę mineralną w plastikowych butelkach jako prozdrowotną na całym świecie. Rozreklamowały ją przy pomocy najętych lekarzy. Nie ma jednak żadnych prac naukowych, które by pokazywały, że woda z plastikowych butelek jest lepsza od wody z kranu. Pomijamy tu raczej rzadkie przypadki, gdzie woda wodociągowa czerpana z rzek ma bardzo podły smak. Normy dla obu rodzajów wody są podobne. Jednak są osoby, które intuicyjnie nie ruszą wody mineralnej z plastikowej butelki. Niektórzy zauważają po niej częstsze wydalanie moczu. Jest wiele prac naukowych pokazujących, że woda z butelek PET ma właściwość zaburzacza hormonalnego. FDA (US Food and Drug Administration) zaleca aby wody z butelek PET nie piły kobiety w ciąży i dzieci. Wśród badań naukowych trwa spór czy wyekstrahowany wodą z butelek bisfenol-A ma wystarczające stężenie, żeby pobudzić receptory estrogenowe czy nie. Jedne prace wykazują, że tak, inne, że nie. Oczywiście najwartościowsze badania, to te, które pokazują doświadczalnie oddziaływanie wody z butelek PET na receptory estrogenowe<sup>14-16</sup>, a nie te, które badają stężenie bisfenolu-A, aby dywagować czy to stężenie jest wystarczające dla efektu biologicznego. Bez względu na to, czy bisfenol-A obecny w organizmie na poziomie stężenia 1ppm u osób pijących wodę z butelek plastikowych wystarcza aby zadziałać na receptory hormonalne, tworzywo PET wraz z bisfenolem infekują homeopatycznie wodę w butelce, co przedstawiamy poniżej. Możemy więc sądzić, że główny efekt fizjologiczny przynależy działaniu homeopatycznemu. Na rys. 23 przedstawione zostały wzory strukturalne tworzywa PET i bisfenolu-A. Trudno powiedzieć jaki udział ma zawartość bisfenolu-A w określonej butelce PET. Bisfenol-A jest dodawany możliwie wszędzie jako uszlachetniacz, ponieważ utwardza tworzywo i zwiększa jego przezroczystość.



Rys. 23. Struktury tworzywa syntetycznego PET i bisfenolu-A

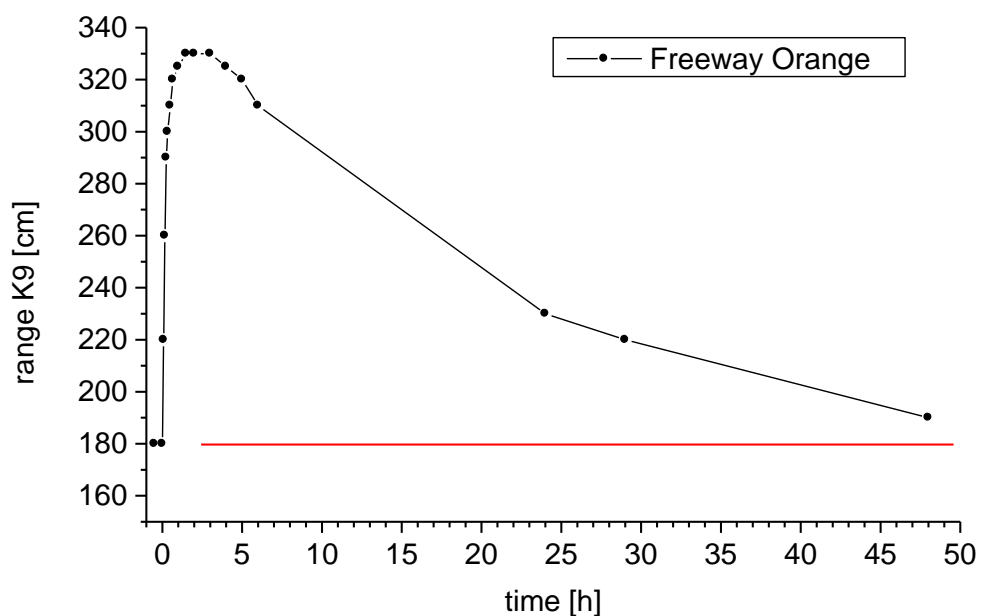
Na rys. 24 przedstawiliśmy kinetykę infekcji wody w butelce PET. Już po czterech godzinach w butelce powstaje preparat homeopatyczny o prawie pełnym zasięgu promieniowania.



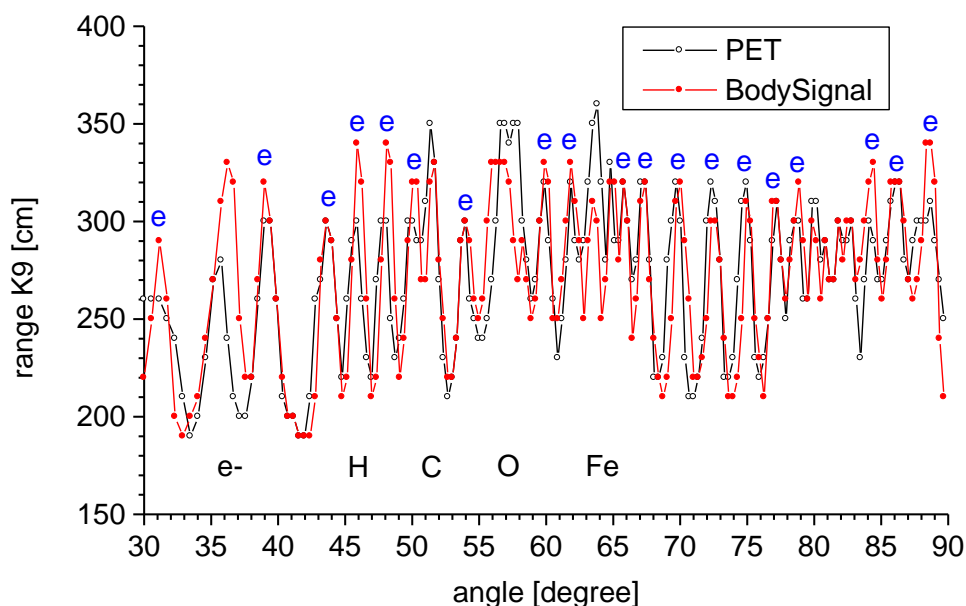
Rys. 24. Wzrost promieniowania cząstek pola torsyjnego z wody Oaza w butelce po skasowaniu informacji homeopatycznej w lodówce, pomiar z 1,5l butelki PET - czarne kwadraty. Dla porównania zbadano wielkość promieniowania wody w szklanym słoiku o tej samej średnicy (powstały sygnał pochodzi od wirowego pola Ziemi) - czerwone kółka. Oś odciętych - czas od skasowania wody w lodówce, oś rzędnych - zasięg promieniowania Kategorii K9 mierzony bezpośrednio z butelki i słoika.

Na rys. 25 przedstawiona została farmakokinetyka sygnału homeopatycznego pochodzącego z butelki PET, po wypiciu 1 litra napoju Freeway Orange (nie było chętnych do wypicia 1 litra wody). Uzyskany maksymalny sygnał z organizmu odpowiada zażyciu preparatu homeopatycznego o potencji 12. Na rys. 26 znajduje się natomiast porównanie spektrum tworzywa PET i spektrum sygnału pobranego z organizmu 5h po wypiciu 1l napoju. Tworzywo PET nie pochodziło z tej samej butelki w którym był napój, jednak wszystkie piki od tworzywa PET są widoczne.





Rys. 25. Badanie w czasie sygnału z boku palca po wypiciu 1l napoju Freeway Orange z butelki PET. Oś odciętych - czas od wypicia napoju, oś rzędnych - zasięg promieniowania Kategorii K9 z próbek infekowanych od palca w ciągu 3min mierzony w centymetrach. Czerwona pozioma linia pokazuje naturalny poziom tła organizmu.

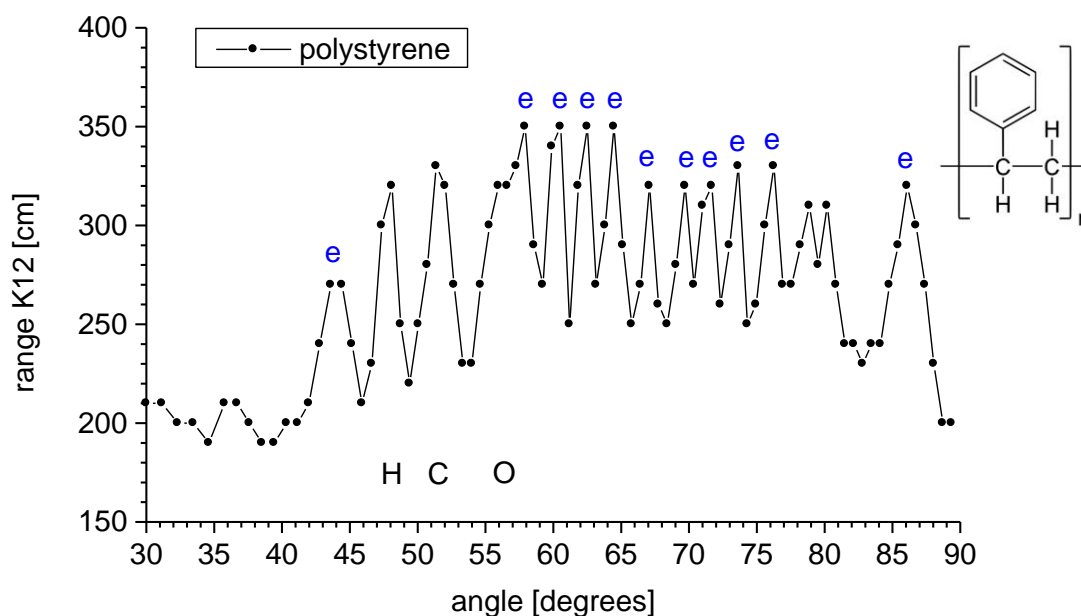


Rys. 26. Spektrum rozdrobionego tworzywa PET - czarne puste kółka i spektrum informacji homeopatycznej z organizmu 5h po wypiciu jednego litra napoju Freeway Orange z butelki PET - czerwone pełne kółka. Oś odciętych - kąt mierzony w stopniach, oś rzędnych - zasięg promieniowania Kategorii K9 z próbek na wyjściu spektroskopu mierzony w centymetrach.

Z powyższych wyników widzimy, że tworzywo PET infekujące zawartą w butelce wodę lub napój powoduje powstanie preparatu homeopatycznego działającego na organizm analogicznie jak zażycie leku homeopatycznego o potencji 12 (potencje C lub D mają podobne zasięgi promieniowania cząstek pola torsyjnego). Nie jest więc konieczne dla powstania efektów hormonalnych aby w wodzie była mierzalna ilość polimeru PET lub bisfenolu-A. Tym bardziej, że wiemy, że receptory hormonów dają się łatwo oszukać na preparaty homeopatyczne z hormonów.

## Styropian

Wiemy od osób, które ociepliły dom styropianem, że teraz nie śpią równie dobrze jak przedtem. W większości przypadków problem rozwiązuje odsunięcie łóżka od zewnętrznej ściany na odległość około 0,5m. W przypadku polistyrenu, z którego przez spienienie wykonywany jest styropian, mamy łańcuchy polimeru z pierścieniami aromatycznymi. Na rys. 27 przedstawione jest spektrum cząstek pola torsyjnego i struktura łańcucha polistyrenu. Widoczne są liczne piki od układów aromatycznych, odpowiedzialne za infekcyjność polistyrenu, styropianu, jak też ABS-u z którego wykonana jest większość obudów urządzeń elektronicznych. Możemy określić metodą typu kinezjologicznego jak daleko promieniuje cząstkami pola torsyjnego styropian umieszczony na zewnątrz ścian. Z naszych badań wynika, że po ociepleniu budynku w którym znajdowało się nasze laboratorium sygnał od styropianu sięgał na około 50cm od ścian do wnętrza laboratorium, a po zwiększeniu mocy nadajników pobliskiej stacji bazowej, po zmianie norm promieniowania elektromagnetycznego 1 stycznia 2020r. na 120cm. Sytuacja może być gorsza w miejscach rozłamów tektonicznych.



Rys. 27. Spektrum cząstek pola torsyjnego pochodzących od polistyrenu. Oznaczenia: H - wodór, C - węgiel, O - tlen, e - piki od układów aromatycznych. Oś odciętych - kąt mierzony w stopniach, oś rzędnych - zasięg promieniowania Kategorii K12 z próbek na wyjściu spektroskopu mierzony w centymetrach.

## Dyskusja i podsumowanie

W pracy omawiamy substancje i sygnały homeopatyczne o właściwościach promieniujących wirowe pole torsyjne. Wśród substancji występujących w organizmach żywych są to rozbudowane układy aromatyczne lub pierścienie aromatyczne połączone z długimi wiązaniami sprzężonymi. Specyficzną grupą substancji, które wzbudziły nasze zainteresowanie były melaniny i substancje melaninopodobne, których rola w organizmach żywych nie jest do końca wyjaśniona. W trakcie badań nasunęły się zagadnienia innych i mało spodziewanych oddziaływań wirowych pól torsyjnych stosowanych w fizykoterapii i obecnych w naszym otoczeniu, które włączyliśmy do niniejszej pracy.

Melanina, podobnie jak inne ważne dla organizmu substancje, ma wiele twarzy. Rozległa struktura aromatyczna z ugrupowaniami chinonowymi w zależności od modyfikacji może być wymiataczem rodników, albo przeciwnie prooksydantem, absorbuje światło, chroniąc przed ultrafioletem, wiąże metale i różne substancje, a przy tym jest prawie niezniszczalna. Bierze też udział w, jakby to można nazwać, wojnie immunologicznej. Można się zastanawiać, po co niektórym mikroorganizmom melanina, podczas gdy inne jej nie potrzebują? Zagadka ta ma dosyć nieoczekiwane rozwiązanie. Melanina powoduje, że stają się one niewidzialne dla układu immunologicznego żywiciela, u którego pasożytują. Są tu dwa aspekty immunologiczne. Mikroorganizmy zawierające w zewnętrznej ścianie komórkowej taką wymiatającą rodniki melaninę, nie boją się wysokoaktywnych rodników nakierowywanych na intruza przez wyspecjalizowane do tego komórki immunologiczne. Z drugiej jednak strony, i to jest najbardziej ciekawe, blokują rozpoznanie przez receptory wrodzonego rozpoznania immunologicznego (np. tool like receptors TLR4), immunogennych polisacharydów mikroorganizmu. Nie zostają wytworzone cytokiny (np TNF- $\alpha$ , IL-6) aktywujące układ immunologiczny.<sup>17-20</sup>

Podobnie niewidoczne w obecności melaniny stają się uszkodzenia DNA przez układ naprawy DNA<sup>20</sup>.

Wiemy już z powyższych doświadczeń, że melanina i złożone układy aromatyczne wytwarzają silne wirowe pole torsyjne i jednocześnie należy zdawać sobie sprawę, że immunologiczne oddziaływanie przeciwciał również jest realizowane z użyciem pola torsyjnego, co jako pierwszy pokazał Jaques Benveniste, oszukując komórki bazofilów homeopatycznymi przeciwciałami utworzonymi z cząstek pola torsyjnego.<sup>21</sup> A jak pokazaliśmy w pracy<sup>22</sup>, w oddziaływaniach van der Waalsa biorą udział pola torsyjne. W przypadku wielu mikroorganizmów mamy więc sytuację zaburzenia działania układu immunologicznego, prawdopodobnie poprzez oddziaływania pól torsyjnych. Obecność zaburzania układu immunologicznego na poziomie funkcjonalnym wykazano zarówno w przypadku bakterii jak też grzybów, w stosunku do organizmów zwierzęcych i roślinnych. Podobna sytuacja jak się wydaje występuje w przypadku nowotworów. Jak podaje A. P. Dubrow (za innym autorem) nowotwór otacza się polem nowotworowym (niezdefiniowanego typu), które powoduje, że układ immunologiczny go nie widzi.<sup>23</sup> Układ immunologiczny człowieka posiada zdolność zniszczenia właściwie każdego nowotworu, ale musi wiedzieć, że on istnieje. W praktyce układ immunologiczny ma problemy z rozpoznaniem tkanki nowotworowej jako patogennej, mimo że w komórkach jest już zmutowana duża część genów. W przypadku całej grupy nowotworów typu melanoma, melanina jest jednym z głównych czynników ich inwazji. W celu zniszczenia tego typu nowotworów stosuje się zarówno zablokowanie wytwarzania malaniny, jak też jej degradację. Możemy sądzić że podobnie jak w przypadku mikroorganizmów, ludzka malanina wytwarza pole torsyjne zagłuszające układ immunologiczny, chociażby siłą swojego promieniowania, niekoniecznie

jakimś specyficznym sygnałem. W przypadku innych nowotworów sytuacja nie jest już taka oczywista, jednak mniejsze niż melanina układy aromatyczne nie pochłaniające światła w zakresie widzialnym mogą pełnić podobną rolę, np. obecne w wielu nowotworach produkty szlaku kinurynowego.<sup>24</sup> Produkty te mogą oddziaływać na receptor węgla aromatycznego AHR (Aromatic Hydrocarbon Receptor).<sup>25</sup> Nasze wstępne badania osób z rakiem piersi pokazują, że rzeczywiście w ich organizmach jest sygnał małych cząsteczek aromatycznych, których nie ma u osób zdrowych. Tematowi temu będzie poświęcona oddzielna praca.

Ludzka melanina, podobnie jak i melaniny z innych organizmów, obok korzystnych właściwości, jak pochłanianie promieniowania ultrafioletowego, jest też niebezpieczna, chciwie łączy się z DNA i pod wpływem ultrafioletu wytwarza rodniki uszkadzające je. Dlatego w organizmach ludzkich jest ona schowana w melanosomach i w takiej postaci przekazana z melanocytów do keratynocytów, gdzie jej docelowe miejsce jest przy jądrach komórkowych od strony docierających promieni słońca.<sup>26</sup> Mimo wszystko, melanina ma udział w powstawaniu czerniaka złośliwego (melanoma).

Nasze badania pokazały, że różne zabiegi fizykoterapeutyczne podobnie jak homeopatia dostarczają do organizmu cząstki pola torsyjnego przenoszące specyficzne informacje. Są to fototerapia, magnetoterapia, magnetostymulacja, czy terapia magnesami. Pokazaliśmy też że powszechne w naszym otoczeniu przedmioty z tworzyw syntetycznych mających ugrupowania aromatyczne, w sposób niezauważalny infekują nas informacją homeopatyczną, którą możemy traktować jako toksynę homeopatyczną. Z badań biologii molekularnej wiemy, że duża część złożonych substancji aromatycznych, określanych ogólnie jako zaburzacze hormonalne, oddziałuje na receptor węgla aromatycznego AHR, którego długotrwała stymulacja współodpowiedzialna jest za powstawanie nowotworów i innych chorób cywilizacyjnych. Przykładami takich tworzyw oddziałujących na nas są butelki PET i styropian umieszczany na zewnątrz naszych domów.

Czyste wirowe preparaty homeopatyczne mają tę niedogodność, że aby nie zainfekowały innych preparatów trzeba je przechowywać w pewnej odległości od innych preparatów, a więc na przykład w pudełkach z przestrzenią powietrzną, które zapewnią dystans co najmniej 5cm od innych preparatów. Dokładne wartości należałoby ustalić dla każdego preparatu z osobna. W naszej praktyce laboratoryjnej stosowaliśmy półki do dokumentów podzielone ściankami co 30cm, a na każdej półce na środku stał tylko jeden rodzaj preparatu infekcyjnego. W przypadku preparatów komercyjnych, które wszystkie są mocno zanieczyszczone informacją przechwyconą z otoczenia podczas procesu wytrząsania, infekcyjność jest znacznie mniejsza, niemniej jednak zauważalna.

Wprowadzona do organizmu informacja może być liniowa lub wirowa, jednak system wzmacniania informacji homeopatycznej powoduje, że liniowa informacja homeopatyczna wprowadzona do organizmu jest przetwarzana na wirową i w takiej postaci odzyskujemy ją z organizmu w celach badawczych.

## Literatura

1. Д. Войтковяк, К. Радушкевич, А. Фридриховски; Какую информацию способна перенести частица торсионного поля (2017); wersja polska: D. Wojtkowiak, K. Raduszkiewicz, A. Frydrychowski; Jaką informację jest w stanie przenieść cząstka pola torsyjnego?; <http://www.torsionfield.eu/>
2. Д. Войтковяк, К. Радушкевич, М. Войтковяк, А. Фрыдрыховски; Спектроскопия частиц торсионного поля; Журнал Формирующихся Направлений Науки (2018) номер 19-20 том 6, стр. 10-18 (wersja skrócona); pełny tekst w języku polskim: D. Wojtkowiak, K.

- Raduszkiewicz, M. Wojtkowiak, A. Frydrychowski; Spektroskopia pól torsyjnych; <http://www.torsionfield.eu/>
3. Д. Войтковяк, Э. Малярчик, К. Радушкевич, М. Скурковска, М. Войтковяк, А. Фрыдриховски; Корпускулярно-волновые свойства торсионных полей - итоги собственных экспериментов; Торсионные поля и информационные взаимодействия – 2014: Материалы IV-й международной научно-практической конференции. Москва, 20-21 сентября 2014 г. с. 185-197 <http://www.second-physics.ru/node/30>; wersja polska: D. Wojtkowiak, B. Głębigka, K. Raduszkiewicz, M. Skórkowska, A. Frydrychowski; Wolnozmiennie zegary biologiczne wykorzystujące pola torsyjne; <http://www.torsionfield.eu/>
4. Agatha Trash, Calvin Trash; Leczenie węglem drzewnym: Fundacja Źródła Życia, Mszczonów 2013 (Agatha Trash, Calvin Trash; RX: Charcoal; New Lifestyle Books 1988)
5. S. Arata, J. Watanabe, M. Maeda, M. Yamamoto, H. Matsushashi, M. Mochizuki, N. Kagami, K. Honda, M. Inagaki; Continuous intake of the Chaga mushroom (*Inonotus obliquus*) aqueous extract suppresses cancer progression and maintains body temperature in mice; *Heliyon* (2016) 12 May; DOI: <https://doi.org/10.1016/j.heliyon.2016.e00111>
6. W. Zheng; K. Miao, Y. Liu, Y. Zhao, M. Zhang, S. Pan, Y. Dai; Chemical diversity of biologically active metabolites in the sclerotia of *Inonotus obliquus* and submerged culture strategies for up-regulating their production; *Appl. Microbiol. Biotechnol.* (2010) 87: 1237-1254.
7. D. Wojtkowiak, M. Skórkowska, W. Misztal, K. Raduszkiewicz, A. Frydrychowski; Badania informacyjne leków homeopatycznych; *Homeopatia Praktyczna* (2018) 1-4
8. C. M. Gibson, P. W. Fowler; Aromaticity of caffeine, xanthine and the dimethyl xanthines; *Tetrahedron Letters* (2014) 55: 2078-2081; <http://dx.doi.org/10.1016/j.tetlet.2014.02.027>
9. Biblia Tysiąclecia Stary testament, Księga Liczb Lb21, s.157; Wydawnictwo Pallottinum, Warszawa-Poznań 1990.
10. S. Wang, R. Pogue, D. M. Morre, D. J. Morre; NADH oxidase activity (NOX) and enlargement of HeLa cells oscillate with two different temperature-compensated period lengths of 22 and 24 minutes corresponding to different NOX forms; *Biochimica and Biophysica Acta* (2001) 1539: 192-204.
11. D. J. Morre, J. Lawler, S. Wang, T. W. Keenan, D. M. Morre; Entrainment in solution of an oscillating NADH oxidase activity from the bovine milk fat globule membrane with a temperature-compensated period length suggestive of an ultradian time-keeping (clock) function; *Biochimica and Biophysica Acta* (2002) 1559: 10-20.
12. D. J. Morre, S. M. Heald, J. Coleman, J. Orczyk, Z. Jiang, D. M. Morre; Structural observations of time dependent oscillatory behavior of  $\text{Cu}^{\text{II}}\text{Cl}_2$  solutions measured via extended X-ray absorption fine structure; *Journal of Inorganic Biochemistry* (2007) 101: 715-726.
13. Diana Wojtkowiak; *Psychopatologia według kategorii uniwersalnych*; Autorska Seria Naukowa DETERMINIZM Tom I, Gdańsk 2008; <http://www.torsionfield.eu/>
14. M. Wagner, J. Oehlmann; Endocrine disruptors in bottled mineral water: Estrogenic activity in the E-Screen; *Journal of Steroid Biochemistry and Molecular Biology* (2011) 127: 128-135.
15. B. Pinto, D. Reali; Screening of estrogen-like activity of mineral water stored in PET bottles; *Int. J. Hyg. Environ. Health* (2009) 212: 228-232.
16. M. Real, J. M. Molina-Molina, I. Jimenez-Diaz, J. P. Arrebola, J. M. Saenz, M. F. Fernandez, N. Olea; Screening of hormone-like activities in bottled waters available in Southern Spain using receptor-specific bioassays; *Environment International* (2015) 74: 125-135.
17. K. Langfelder, M. Streibel, B. Jahn, G Haase, A. A. Brakhage; Biosynthesis of fungal melanins and their importance for human pathogenic fungi; *Fungal Genetics and Biology* (2003) 38: 143-158.

18. L. Y. Chai, M. G. Netea, J. Sugui, A. G. Vonk, W. W. van de Sande, A. Warris, K. J. Kwon-Chung, B. J. Kullberg; *Aspergillus fumigatus* conidial melanin modulates host cytokine response; *Immunobiology* (2010) 215: 915-920.
19. T. Akoumianaki, I. Kyrmizi, I Valsecchi, M. S. Gresnigt, G. Samonis, E. Drakos, D. Boumpas, L. Muszkiet, M. C. Prevost, D. P. Kontoyiannis, T. Chavakis, M. G. Netea, F. L. van de Veerdonk, A. A. Brakhage, J. El-Benna, A. Beauvais, J. P. Latge, G. Chamilos; *Aspergillus* cell wall melanin blocks LC3 associated phagocytosis to promote pathogenicity; *Cell Host and Microbe* (2016) 19: 79-90.
20. A. A. Suzukawa, A. Vieira, S. M. Brochado Winnischofer, A. C. Scalfio, P. Di Mascio, A. M. da Costa Ferreira, J. L. Ravanat, D. de Luna Martins, M. E. Merlin Rocha, G. R. Martinez; Novel properties of melanins include promotion of DNA strand breaks, impairment of repair, and reduced ability to damage DNA after quenching of singlet oxygen; *Free Radical Biology and Medicine* (2012) 52: 1945-1953.
21. E. Davenas, F. Beauvais, J. Amara, M. Oberbaum, B. Robinzon, A. Miadonnai, A. Tedeschi, B. Pomeranz, P. Fortner, P. Belon, J. Sainte-Laudy, B. Poitevin, J. Benveniste; Human basophil degranulation triggered by very dilute antiserum against IgE. *Nature* (1988) 333: 816-818.
22. D. Wojtkowiak; Oddziaływania van der Waalsa; Gdańsk, marzec 2020;  
<http://www.torsionfield.eu/>
23. А. П. Дубров; Биологическая геофизика: поля, земля, человек и космос; Издательство Фолиум, Москва 2009.
24. R. Baumgartner, M. J. Forteza, D. F. Ketelhuth; The interplay between cytokines and kynurenine pathway in inflammation and atherosclerosis; *Cytokine* (2017),  
<http://dx.doi.org/10.1016/j.cyto.2017.09.004>.
25. Z. Wang, S. Monti, D. H. Sherr; The diverse and important contributions of the AHR to cancer and cancer immunity; *Current Opinion in Toxicology* (2017) 2:93-102.
26. N. Agar, A. R. Young; Melanogenesis: a photoprotective response to DNA damage?; *Mutation Research* (2005) 571: 121-132.